

ANEJO Nº 10
DIMENSIONAMIENTO DE LA INSTALACIÓN FOTOVOLTAICA

ÍNDICE

1	CARACTERIZACIÓN DEL CONSUMO ELÉCTRICO.....	1
2	PREDISEÑO DE LA POTENCIA A INSTALAR EN EL CAMPO FOTOVOLTAICO	1
3	CÁLCULO DE LA PRODUCCIÓN ENERGÉTICA.....	3
3.1	FUENTES DE DATOS DE RADIACIÓN Y TEMPERATURAS	4
3.2	CÁLCULO DE LA ENERGÍA TEÓRICA Y REAL PRODUCIDA	5
3.3	PÉRDIDAS DE ENERGÍA	5
3.3.1	<i>Pérdidas por sombreados</i>	<i>6</i>
3.3.2	<i>Pérdidas por no cumplimiento de la potencia nominal</i>	<i>7</i>
3.3.3	<i>Pérdidas de mismatch o de conexionado</i>	<i>7</i>
3.3.4	<i>Pérdidas por polvo y suciedad</i>	<i>7</i>
3.3.5	<i>Pérdidas LID (Light Induced Degradation).....</i>	<i>7</i>
3.3.6	<i>Pérdidas por rendimiento AC/DC del inversor-variador.....</i>	<i>8</i>
3.3.7	<i>Pérdidas por rendimiento de seguimiento del Punto de Máxima Potencia (MPPT) del generador FV.....</i>	<i>8</i>
3.3.8	<i>Pérdidas por caídas óhmicas en el cableado</i>	<i>8</i>
3.3.9	<i>Pérdidas en el transformador.....</i>	<i>9</i>
3.3.10	<i>Pérdidas por nivel de temperatura</i>	<i>9</i>
3.3.11	<i>Pérdida de rendimiento durante la vida útil de la planta</i>	<i>11</i>
3.3.12	<i>Resumen de las pérdidas de producción de energía</i>	<i>12</i>
3.4	ESTIMACIÓN DE LA PRODUCCIÓN MENSUAL Y ANUAL	12
4	ESTIMACION DE LA ENERGIA AUTOCONSUMIDA	15
5	AHORRO DE ENERGIA Y DE EMISIONES DE CO₂.....	17

APÉNDICE 1: DATOS DE RADIACIÓN Y TEMPERATURA OBTENIDOS DEL PROGRAMA PVGIS

APÉNDICE 2: CÁLCULOS JUSTIFICATIVOS DE POTENCIA BRUTA, POTENCIA NETA Y AUTOCONSUMO CAMPO FOTOVOLTÁICO DE 885,6 KWP

APÉNDICE 3: CÁLCULOS JUSTIFICATIVOS DE POTENCIA BRUTA, POTENCIA NETA Y AUTOCONSUMO CAMPO FOTOVOLTÁICO DE 393,6 KWP

ÍNDICE DE TABLAS

<i>Tabla 1. Potencias de los grupos de bombeo</i>	<i>2</i>
<i>Tabla 2. Temperaturas máxima en celda</i>	<i>10</i>
<i>Tabla 3. Pérdida de potencia por mes</i>	<i>11</i>
<i>Tabla 4. Pérdidas en %</i>	<i>12</i>
<i>Tabla 5. Datos de producción de energía campo FV completo (885,6 kWp)</i>	<i>14</i>
<i>Tabla 6. Datos de producción de energía campo FV del proyecto de Fase II (393,6 kWp)</i>	<i>14</i>
<i>Tabla 7. Datos de autoconsumo para campo FV completo (885,6 kWp)</i>	<i>16</i>
<i>Tabla 8. Datos de autoconsumo del proyecto de Fase II (393,6 kWp)</i>	<i>16</i>
<i>Tabla 9. Datos de consumo de energía de apoyo</i>	<i>17</i>

ÍNDICE DE FIGURAS

<i>Figura 1. Cálculo geométrico de la distancia entre filas de módulos</i>	<i>6</i>
<i>Figura 2. Curva I/V para distintas temperaturas</i>	<i>9</i>

1 CARACTERIZACIÓN DEL CONSUMO ELÉCTRICO

En la actualidad la Colectividad de Cuevas del Campo no dispone de ningún consumo eléctrico para el bombeo de agua de forma conjunta para toda la zona regable, ya que los regantes que tienen instalados riegos presurizados tienen bombes individuales accionados con grupos electrógenos.

En el proyecto de la Fase I sólo se contemplaba un pequeño consumo para los servicios mínimos de la nave, tales como iluminación, alimentación de elementos de automatización y maniobras de válvulas motorizadas. Todo esto se solventó con una pequeña instalación fotovoltaica en cubierta con baterías para almacenamiento con una potencia de 5,40 kWp (módulos) / 5,00 kW (inversor) y apoyo grupo electrógeno diésel 12,5/13,1 kVA.

Sin embargo, en el presente proyecto de Fase II (y futura Fase III) se contempla la instalación de un conjunto de bombas que abastecerán el sector de bombeo, por lo que será necesario contar con un suministro de electricidad para su funcionamiento. La alternativa elegida será la autoproducción de energía mediante una instalación solar fotovoltaica con apoyo de energía eléctrica convencional (instalación de autoconsumo conectada a red).

2 PREDISEÑO DE LA POTENCIA A INSTALAR EN EL CAMPO FOTOVOLTAICO

En el Anejo nº 9 «Dimensionamiento del sistema de bombeo» se ha realizado la justificación y el dimensionamiento de las nuevas instalaciones de bombeo. Se pretende optimizar el consumo energético y para ello se dividirá el sistema de bombeo en dos grupos independientes de bombas, que darán lugar a dos subsectores: subsector de bombeo bajo (BB) y subsector de bombeo alto (BA).

En el presente proyecto de la Fase II se instarán los grupos de bombeo que abastecerán al subsector de bombeo bajo (BB), si bien el diseño del campo fotovoltaico hay que hacerlo en principio para la totalidad de potencia (por las canalizaciones, zanjas, conductores, tamaño de cuadros eléctricos, etc.), para posteriormente incluir en esta Fase II la parte que corresponda al bombeo bajo.

Con base en las bombas diseñadas se determina la potencia total, tanto instalada (potencia de motor) como consumida (potencia demandada en el punto de funcionamiento de la bomba), que servirá para el dimensionamiento de la instalación eléctrica y de las instalaciones de generación de energía (campo fotovoltaico y centro de transformación).

Tabla 1. Potencias de los grupos de bombeo

	Q (l/s)	H (mca)	Potencia hidráulica (kW)	Potencia eléctrica (kW)	Potencia eléctrica mayorada (kW) (*)	Potencia motor (kW)
BOMBEO BAJO	210	25	58,81	61,91	65	75,00
BOMBEO ALTO	130	50	77,69	81,78	85,87	90,00

(*) Se mayor a un 5% la potencia eléctrica absorbida en el punto de funcionamiento

La potencia máxima instalada será:

$$\text{Potencia máxima instalada} = 75 \text{ kW} \times 2 \text{ bombas} + 90 \text{ kW} \times 2 \text{ bombas} = \mathbf{330 \text{ kW}}$$

La potencia máxima demandada en el punto de funcionamiento de la bomba:

$$\text{Potencia máxima demandada} = 65 \text{ kW} \times 2 \text{ bombas} + 85,87 \text{ kW} \times 2 \text{ bombas} = \mathbf{301,74 \text{ kW}}$$

Como potencia máxima demandada (absorbida realmente por la bomba) se tomará 305 kW para compensar las pérdidas en cableados interiores de la estación de bombeo hasta los variadores de frecuencia.

Las campañas de riego comienzan en marzo-abril dependiendo de la climatología de cada año y se extienden hasta mitad-finales de octubre, si las precipitaciones se retrasan. El presente proyecto se plantea con una planta fotovoltaica en autoconsumo sin excedentes, por lo que la energía generada se consumirá exclusivamente para alimentar las estaciones de bombeo. A tales efectos, se tomará como campaña de riegos los meses de marzo-abril-mayo-junio-julio-agosto-septiembre-octubre (8 meses en total).

El dimensionamiento del campo fotovoltaico se realizará de forma que la energía eléctrica a tomar de la red convencional sea la mínima posible y que este consumo de energía casi sólo se produzca por labores de mantenimiento del campo solar o por necesidades de riego tras varios días nublados con baja radiación.

De la instalación fotovoltaica saldrán los conductores con corriente continua hasta llegar a los variadores de frecuencia híbridos. Estos variadores tienen dos entradas de corriente: Una continua y otra alterna. El variador hace de inversor y convierte la corriente continua en alterna. La salida del variador irá directamente a alimentar una de las bombas. Si se desea mantener el sistema de bombeo funcionando en unas condiciones estables de caudal-presión, si la producción de energía del campo solar fuera más baja que la demandada por las bombas, tomará la energía restante de la red eléctrica.

La disponibilidad de una parcela con unas dimensiones y topografía adecuadas nos permite dimensionar una planta de aproximadamente 900 kWp. Esta planta se ejecutará en dos fases: una primera de unos 400 kWp para abastecer el subsector de bombeo bajo (correspondiente con este proyecto) y una segunda de unos 500 kWp que se incluirá en la Fase III del proyecto de modernización de la Colectividad de Cuevas del Campo. Se proyectan módulos fotovoltaicos de 615 Wp. Se considerará una inclinación de 15º, pues con ella se consigue un óptimo entre la producción de marzo hasta octubre, que será máxima coincidiendo con las máximas demandas de energía del bombeo.

Con el diseño eléctrico del número de paneles por lazo en función de las características de cada módulo fotovoltaico y los variadores a emplear se determinará la potencia exacta del campo fotovoltaico (se recoge en el Anejo nº 11 «Electrificación. Cálculos eléctricos»), que será de 885,6 kWp cuando esté ejecutado completamente (para abastecer al subsector de bombeo bajo y al alto) y de 393,6 kWp para abastecer sólo al subsector de bombeo bajo, que será el objeto del presente proyecto.

3 CÁLCULO DE LA PRODUCCIÓN ENERGÉTICA

Una vez definido el sistema fotovoltaico y el resto de materiales y equipos, se realiza una simulación para estimar el rendimiento energético de la instalación.

Para analizar la producción del sistema fotovoltaico se utilizarán hojas Excel (apéndices 2 y 3) realizadas por Agrimensur Consulting S.L., las cuales han sido aplicadas en muchos proyectos similares ya en funcionamiento.

Para el cálculo de la energía generada por el sistema fotovoltaico, se considerarán los siguientes factores clave que se desarrollan en la hoja Excel:

- Irradiación solar (G , en W/m^2) en la ubicación del sitio fotovoltaico por tramos cuartohorarios, con el correspondiente factor de producción (F_p en %)
- Máxima energía-potencia teórica producida en función de las características del campo fotovoltaico.
- Pérdidas del campo fotovoltaico y pérdidas CA hasta el punto de conexión a la red. Rendimiento energético de las diferentes partes del sistema fotovoltaico.
- Cálculo de la energía-potencia real producida de las pérdidas.
- Determinación de la energía aprovechable para autoconsumo por la estación de bombeo

Los datos meteorológicos considerados de la radiación solar en el sitio, junto con las características del campo fotovoltaico descrito, representan los datos de entrada para calcular las pérdidas del sistema y los rendimientos energéticos, como se explica en los siguientes apartados.

3.1 FUENTES DE DATOS DE RADIACIÓN Y TEMPERATURAS

La radiación solar y temperatura del emplazamiento de la instalación viene dada por datos estadísticos medidos durante años. Para realizar el estudio de producción de la instalación fotovoltaica se consideran como punto de partida los datos obtenidos de programa PVGIS (Photovoltaic Geographical Information System).

PVGIS ha sido desarrollado en el Centro Común de Investigación de la Comisión Europea. El enfoque de PVGIS es la investigación en evaluación de recursos solares, estudios de rendimiento fotovoltaico (PV) y la difusión de conocimientos y datos sobre radiación solar y rendimiento.

Los datos de radiación solar de PVGIS-SARAH disponibles se derivan de la primera versión del registro de datos de radiación solar de SARAH proporcionado por EUMETSAT Climate Monitoring Satellite Application Facility (CM SAF). Las principales diferencias con el registro de datos CM-SAF-SARAH son que PVGIS-SARAH utiliza las imágenes de los dos satélites geoestacionarios METEOSAT (0° y 57°E) que cubren Europa, África y Asia, y que los valores horarios se calculan directamente a partir de una sola Imagen de satélite.

Esta aplicación permite la descarga de los datos horarios mensuales de radiación para una ubicación concreta, teniendo en cuenta datos de entrada del programa como son la orientación del campo solar y la inclinación de los módulos fotovoltaicos en la estructura soporte.

En el Apéndice 1 «Datos de radiación y temperatura obtenidos del programa PVGIS» de este anejo se recogen las salidas de los datos generados por el programa PVGIS para las dos instalaciones proyectadas (la planta de 885,6 kWp, que es la planta completa para el funcionamiento del bombeo completo que se construirá entre las Fases II y III, y la planta de 393,6 kWp, que es la prevista en la Fase II para el bombeo bajo, el objeto del presente proyecto). Los datos de entrada son de acimut 0° e inclinación de módulos 15°. Se toma para la irradiancia los valores de G(i) (Global irradiance on a fixed plane W/m² y para las temperaturas los datos de T2m (Daily average temperature °C).

3.2 CÁLCULO DE LA ENERGÍA TEÓRICA Y REAL PRODUCIDA

En primer lugar, se determinará la producción de energía máxima teórica (correspondiente a una eficiencia del 100 %). La ecuación a emplear será la siguiente:

$$Y_r = P_{STC} \times \frac{G}{G_{STC}}$$

Dónde:

- Y_r : Producción de referencia (Reference Yield)
- P_{STC} : Suma de la potencia nominal de los módulos en condiciones STC (Condiciones normalizadas para el ensayo de paneles: Radiación solar de 1000 W/m², temperatura de la célula fotovoltaica 25°C, Valor espectral = 1,5 AM)
- G : Irradiación global en el plano inclinado (plano de los módulos) sin considerar las pérdidas por sombreado interno o externo
- G_{STC} : Irradiancia en condiciones STC (1000 W/m²)

El factor de producción (F_p) recoge el porcentaje de la relación entre G y G_{STC}

$$F_p (\%) = 100 \times \frac{G}{G_{STC}}$$

Como en la instalación se producen pérdidas de energía por distintos motivos, la producción de referencia habrá que reducirla. La producción real de energía será:

$$\text{Producción de energía real} = Y_r \times (1 - \text{Total de pérdidas})$$

En los siguientes apartados se describen los factores de pérdida considerados para el cálculo de la producción de energía real.

3.3 PÉRDIDAS DE ENERGÍA

Con el fin de hacer un estudio adecuado y detallado de la previsión energética, es necesario definir las pérdidas del sistema fotovoltaico. En los siguientes apartados se describen los factores de pérdida considerados para el cálculo de la producción de energía. Para ello se consideran, por un lado, las pérdidas en el sistema de captación solar (sombras, eficiencia, temperatura) y, por otro, las pérdidas en la entrega de energía al inversor, las que se producen en el propio inversor y las que se producen en la conexión de entrega de energía a la red.

3.3.1 Pérdidas por sombreados

Para obtener un cálculo de sombreado adecuado, es necesario representar la geometría exacta del campo fotovoltaico.

3.3.1.1 Distancia entre filas, orientación e inclinación

Tanto la inclinación como la orientación se conseguirán gracias a la estructura portante que tendrá que asegurar la continuidad de estos parámetros mientras esté activa la instalación.

El generador fotovoltaico está dispuesto con acimut 0° según la orientación de la parcela y dispone de una inclinación de 15°. La distancia entre filas permite que queden 3 m de separación libres y se diseña expresamente para que no se produzcan sombras en el periodo de funcionamiento de la instalación de autoconsumo (de marzo a octubre).

Se han tenido en cuenta las condiciones concretas de la estructura, diseñada para tal fin, tratando de obtener la mejor integración en la parcela con la mínima pérdida de rendimiento del sistema.

3.3.1.2 Cálculo de sombreado

Para calcular la distancia mínima entre módulos, de manera que no se produzcan sombras, partimos del cálculo de la altura solar en el lugar de emplazamiento.

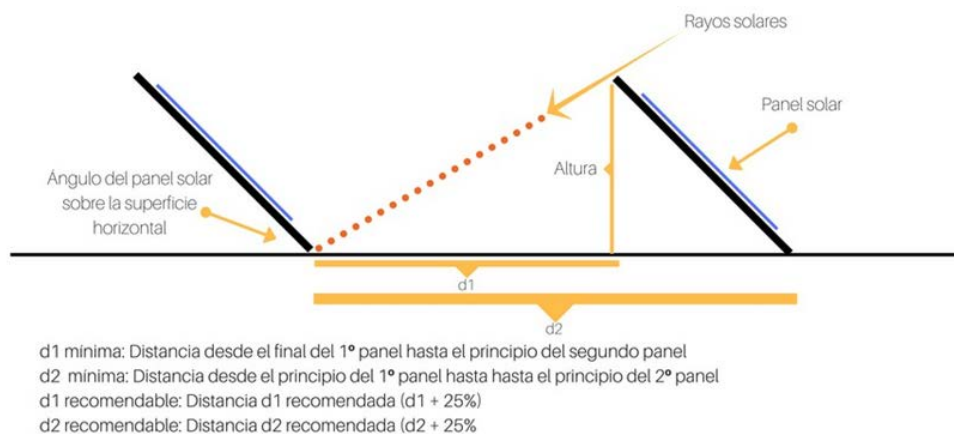


Figura 1. Cálculo geométrico de la distancia entre filas de módulos

$$d_1 = \frac{\text{Altura}}{\tan(61^\circ - \text{latitud})}$$

La latitud de la zona donde se ubican los paneles es 37,66°. Por tanto, la distancia mínima entre filas de paneles será:

$$d_1 = \frac{1,2522}{\tan(61^\circ - 37,66^\circ)} = 2,90 \text{ m}$$

En este caso, la separación de 3 m entre filas supone un 3,44 % superior a la distancia mínima recomendable. Por tanto, no se producirá ninguna pérdida por sombreado.

3.3.2 Pérdidas por no cumplimiento de la potencia nominal

Los módulos FV obtenidos de un proceso de fabricación industrial no son todos idénticos, sino que su potencia nominal referida a las condiciones estándar de medida, STC, presenta una determinada dispersión. Se tomará el 1 % de pérdidas.

3.3.3 Pérdidas de mismatch o de conexionado.

Son pérdidas energéticas originadas por la conexión de módulos fotovoltaicos de potencias ligeramente diferentes para formar un generador fotovoltaico. Esto tiene su origen en que si conectamos dos módulos en serie con diferentes corrientes (por muy pequeñas que sean las diferencias), el módulo de menor corriente limitará la corriente de la serie. De modo semejante ocurre para la tensión de la conexión de módulos en paralelo.

Resultando que la potencia de un generador FV es inferior (o en un caso ideal, igual) a la suma de las potencias de cada uno de los módulos FV que lo componen. Se tomará el 1 % de pérdidas.

3.3.4 Pérdidas por polvo y suciedad

Tienen su origen en la disminución de la potencia de un generador FV por la deposición de polvo y suciedad en la superficie de los módulos FV. Cabría destacar dos aspectos: por un lado, la presencia de una suciedad uniforme da lugar a una disminución de la corriente y tensión entregada por el generador FV y, por otro lado, la presencia de suciedades localizadas (como puede ser el caso de excrementos de aves) da lugar a un aumento de las pérdidas de mismatch y a las pérdidas por formación de puntos calientes. Se tomará el 1 % de pérdidas.

3.3.5 Pérdidas LID (Light Induced Degradation)

La Degradación Inducida por la Luz es una pérdida de rendimiento que surge en las primeras horas de exposición al sol, con módulos cristalinos. Es decir, puede afectar el rendimiento y la potencia reales con respecto a los datos finales de las pruebas de flash de fábrica entregados por los fabricantes. El agotamiento se crea durante los primeros meses de exposición a la radiación solar.

La pérdida de LID está relacionada con la calidad de la fabricación de la oblea y puede ser del orden del 1 % al 3 %. Los módulos fotovoltaicos de última generación con base en los que se redacta el proyecto permitirán tomar el 1 % de pérdidas.

3.3.6 Pérdidas por rendimiento AC/DC del inversor-variador

El inversor-variador fotovoltaico se puede caracterizar por la curva de rendimiento en función de la potencia de operación. Para el modelo que se ha diseñado el proyecto, el fabricante indica una eficiencia del 98,69 %. En cualquier caso, se tomará el 2 % de pérdidas.

3.3.7 Pérdidas por rendimiento de seguimiento del Punto de Máxima Potencia (MPPT) del generador FV

El inversor-variador fotovoltaico opera directamente conectado al generador FV y tiene un dispositivo electrónico de seguimiento del punto de máxima potencia del generador FV (este punto de máxima potencia cambia con la irradiancia y la temperatura) cuyos algoritmos de control pueden variar entre diferentes modelos y fabricantes.

Se puede caracterizar al inversor-variador por una curva de rendimiento de seguimiento del punto de máxima potencia, definida como el cociente entre la energía que el inversor es capaz de extraer del generador FV y la energía que se extraería en un seguimiento ideal. Un problema adicional puede surgir cuando hay sombras sobre el generador FV. En este caso puede haber escalones en la curva I/V y el inversor-variador operar en un punto que no es el de máxima potencia. Se tomará el 2 % de pérdidas.

3.3.8 Pérdidas por caídas óhmicas en el cableado

Tanto en la parte DC como en la parte AC (desde la salida de los inversores hasta la conexión a la estación de bombeo) de la instalación se producen unas pérdidas energéticas originadas por las caídas de tensión cuando una determinada corriente circula por un conductor de un material y sección determinados. Estas pérdidas se minimizan dimensionando adecuadamente la sección de los conductores en función de la corriente que por ellos circula.

Los conductores serán de cobre o aluminio y tendrán la sección adecuada para evitar caídas de tensión y calentamientos. Concretamente, para cualquier condición de trabajo, los conductores deberán tener la sección suficiente para que la caída de tensión sea inferior del 1,5 %. Se tomará el 1,5 % de pérdidas.

3.3.9 Pérdidas en el transformador

En las instalaciones fotovoltaicas proyectadas, el transformador no es parte del inversor, sino un dispositivo externo conectado directamente a la red de MT. Por tanto, no generará pérdidas en la producción del campo fotovoltaico.

3.3.10 Pérdidas por nivel de temperatura

Las condiciones de prueba estándar se especifican para una temperatura de celda de 25 °C, pero los módulos generalmente funcionan a temperaturas mucho más altas. La pérdida térmica se calcula siguiendo el modelo de un diodo.

La temperatura afecta principalmente a la curva de tensión I/V del módulo como se muestra en la figura siguiente. Se puede observar cómo la disminución de la temperatura afecta en gran medida a la tensión de funcionamiento del panel, provocando sobretensiones.

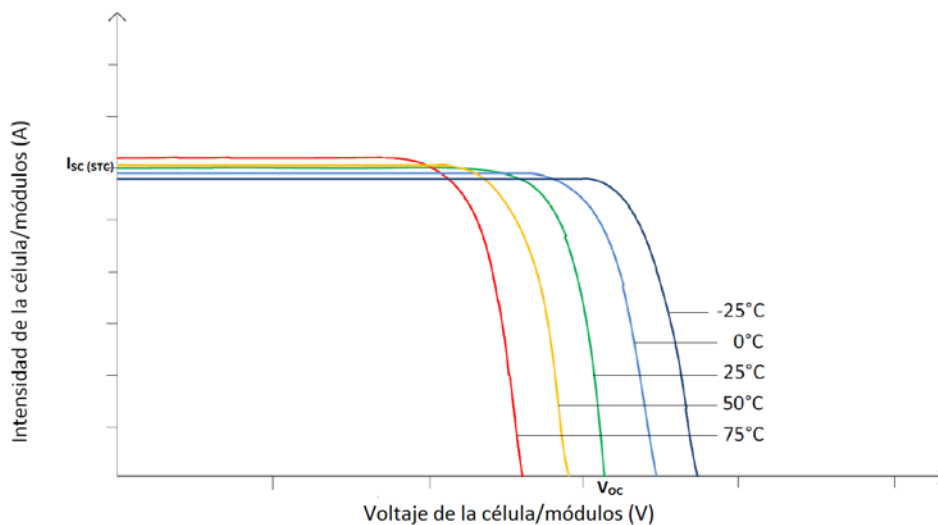


Figura 2. Curva I/V para distintas temperaturas

Las pérdidas efectivas dependen en gran medida de la sobretensión del conjunto con respecto a la tensión de funcionamiento. Esta pérdida se puede contabilizar por el coeficiente de temperatura del módulo de Voc como se indica en su hoja de datos (ficha técnica). El coeficiente de temperatura Voc indica la pérdida porcentual de tensión de circuito abierto de la placa solar por cada grado de diferencia entre la temperatura ambiente de referencia 25 °C y la temperatura de operación de las células.

El comportamiento térmico del campo, que influye fuertemente en el rendimiento eléctrico, está determinado por un balance de energía entre la temperatura ambiente y el calentamiento de la celda debido a la radiación incidente.

La temperatura afecta principalmente a los valores de voltaje y tiene su mayor influencia en el voltaje de circuito abierto, aunque también modifica los valores del punto de máxima potencia y el valor de I_{cc} .

Para determinar la temperatura de célula utilizaremos la fórmula:

$$T_c = T_{amb} + \frac{I_{inc} \times (TONC - 20)}{800}$$

Donde:

- T_c : Temperatura de célula (°C)
- T_{amb} : Temperatura ambiente (°C)
- I_{inc} : Irradiancia (W/m^2)
- TONC: Temperatura de operación nominal de la célula (°C)

En la siguiente tabla se calculan las temperaturas máximas estimadas en celda para cada mes del año partiendo de los datos del PVGIS para irradiancia y temperatura ambiente:

Tabla 2. Temperaturas máxima en celda

	Irradiancia (W/m^2)	Tamb (°C)	TONC (°C)	Tc (°C)
ENERO	522	10,83	45	27,14
FEBRERO	636	12	45	31,88
MARZO	705	15,26	45	37,29
ABRIL	777	18,65	45	42,93
MAYO	879	23,93	45	51,40
JUNIO	942	29,43	45	58,87
JULIO	999	34,32	45	65,54
AGOSTO	961	33,41	45	63,44
SEPTIEMBRE	846	27,27	45	53,71
OCTUBRE	687	22,46	45	43,93
NOVIEMBRE	560	14,85	45	32,35
DICIEMBRE	496	11,8	45	27,30

Las características de los módulos fotovoltaicos se proporcionan a una temperatura de 25 °C. Si estas condiciones varían, el módulo fotovoltaico proporcionará una tensión y potencia inferior a la obtenida en condiciones estándar. Las fichas técnicas de los módulos fotovoltaicos incluyen

coeficiente de pérdida de potencia por cada grado de mayor temperatura de celda que los citados 25 °C. Para el módulo de 615 Wp, el coeficiente será -0,3 %/°C, lo que equivale a perder 1,845 Wp de potencia por cada grado de temperatura de celda superior a 25 °C. En la siguiente tabla se calcula la pérdida de potencia para cada mes por efecto de la temperatura.

Tabla 3. Pérdida de potencia por mes

	Potencia (W)	Diferencia W/°C	Temp. nominal (°C)	T real Celda (°C)	Perdida Potencia (W)	Potencia real (W)	Rendimiento (%)
ENERO	615	-1,845	25	27,14	3,95	611,05	99,36%
FEBRERO	615	-1,845	25	31,88	12,68	602,32	97,94%
MARZO	615	-1,845	25	37,29	22,68	592,32	96,31%
ABRIL	615	-1,845	25	42,93	33,08	581,92	94,62%
MAYO	615	-1,845	25	51,40	48,71	566,29	92,08%
JUNIO	615	-1,845	25	58,87	62,49	552,51	89,84%
JULIO	615	-1,845	25	65,54	74,79	540,21	87,84%
AGOSTO	615	-1,845	25	63,44	70,92	544,08	88,47%
SEPTIEMBRE	615	-1,845	25	53,71	52,97	562,03	91,39%
OCTUBRE	615	-1,845	25	43,93	34,92	580,08	94,32%
NOVIEMBRE	615	-1,845	25	32,35	13,56	601,44	97,80%
DICIEMBRE	615	-1,845	25	27,30	4,24	610,76	99,31%

Se puede observar que el rendimiento del módulo fotovoltaico tiene una importante caída en su rendimiento en los meses de más altas temperaturas. Para estimar una pérdida de rendimiento media se tomarán por un lado los meses de mayo, junio, julio, agosto y septiembre (por ser los meses de mayor temperatura con una mayor caída del rendimiento) y, por otro lado, los meses de marzo, abril y octubre. El resultado es un rendimiento medio en los meses de verano del 89,92 % en los meses de verano, lo que equivale a unas pérdidas del 10,08 %. En los meses de marzo-abril-octubre el rendimiento medio es del 95,08 %, lo que equivale a unas pérdidas del 4,92 %.

3.3.11 Pérdida de rendimiento durante la vida útil de la planta

Las pérdidas de producción que se pueden producir por efecto del envejecimiento del sistema a lo largo del tiempo están motivadas principalmente por la degradación natural del módulo fotovoltaico. La degradación anual de las células fotovoltaicas es un efecto inevitable y está definido por los fabricantes. Además, este efecto se establece mediante garantías de producción o garantías de potencia limitada.

La Tasa de Degradación no deberá exceder el 1 % en el primer año a partir de la Fecha de Inicio (este valor se calcula a partir de la pérdida LID del 1,0%) y un 0,5 % adicional cada año a partir del comienzo del segundo año hasta 25 años después de la Fecha de Inicio. Con estos valores

se obtiene que la Potencia de Salida Máxima en el año 25 no será inferior al 87 % de la potencia inicial del módulo fotovoltaico.

Esto supone una caída del rendimiento del 12 % en 24 años. Para fijar las pérdidas por el descenso del rendimiento se tomará un valor medio, lo que equivale a considerar unas pérdidas del 6 %.

3.3.12 Resumen de las pérdidas de producción de energía

En la siguiente tabla se recoge un resumen con las pérdidas consideradas para calcular la producción de energía de los campos fotovoltaicos proyectados.

Tabla 4. Pérdidas en %

	Pérdidas (%) Verano	Pérdidas (%) resto año
Pérdidas por sombreados	0	0
Pérdidas por no cumplimiento de la potencia nominal:	1	1
Pérdidas de mismatch o de conexionado.	1	1
Pérdidas por polvo y suciedad	1	1
Pérdidas LID (Light Induced Degradation)	1	1
Pérdidas por rendimiento AC/DC del inversor	2	2
Pérdidas por rendimiento de seguimiento del Punto de	2	2
Pérdidas por caídas ohmicas en el cableado	1,5	1,5
Pérdidas en el transformador	0	0
Pérdidas por nivel de temperatura	10,08	4,92
Pérdida de rendimiento durante la vida útil de la planta	6	6
TOTAL PERDIDAS	25,58	20,42

Por tanto, para todos los cálculos de producción de energía se considerarán unas pérdidas acumuladas del 25,58 % en los meses de verano y del 20,42 % en el resto.

3.4 ESTIMACIÓN DE LA PRODUCCIÓN MENSUAL Y ANUAL

Teniendo en cuenta el diseño de la planta junto con los datos de radiación (Apéndice 1 «Datos de radiación y temperatura obtenidos del programa PVGIS») y las pérdidas estipuladas tomadas por diferentes factores, se procede a calcular la producción de energía de las instalaciones.

Con los datos horarios mensuales de radiación se interpolan para sacar datos cuartohorarios y en base a la potencia del campo fotovoltaico se obtiene la potencia máxima teórica generada en cada cuarto de hora con la ecuación antes citada

$$Y_r = P_{STC} \times \frac{G}{G_{STC}}$$

Dónde:

- Y_r : Producción de referencia (Reference Yield)
- P_{STC} : Suma de la potencia nominal de los módulos en condiciones STC (Condiciones normalizadas para el ensayo de paneles: Radiación solar de 1000 W/m², temperatura de la célula fotovoltaica 25°C, Valor espectral = 1,5 AM)
- G : Irradiación global en el plano inclinado (plano de los módulos) sin considerar las pérdidas por sombreado interno o externo
- G_{STC} : Irradiancia en condiciones STC (1000 W/m²)

La potencia máxima obtenida se verá afectada por las pérdidas que se dan (solo se aprovecha el 74,42 % en los meses de verano y el 79,58 % en marzo-abril-octubre). La producción real de energía será:

$$\text{Producción de energía real} = Y_r \times (1 - \text{Total de pérdidas})$$

En el Apéndice 2 «Cálculos justificativos de potencia bruta, potencia neta y autoconsumo campo fotovoltaico de 885,6 kWp» se desarrollan todos los cálculos justificativos para la planta de 885,6 kWp (planta completa para el funcionamiento del bombeo completo que se construirá entre las Fases II y III) y en el Apéndice 3 «Cálculos justificativos de potencia bruta, potencia neta y autoconsumo campo fotovoltaico de 393,6 kWp» se desarrollan todos los cálculos justificativos para la planta de 393,6 kWp (la prevista en la Fase II para el bombeo bajo). En las siguientes tablas se muestran los resultados de producción estimados mensualmente para las plantas fotovoltaicas.

Tabla 5. Datos de producción de energía campo FV completo (885,6 kWp)

Mes	Campo 885,6 kWp	
	Energía producida bruta (kWh)	Energía producida neta (kWh)
Enero	99.749	77.540
Febrero	107.668	85.682
Marzo	146.304	116.428
Abril	168.129	133.797
Mayo	196.746	146.419
Junio	206.653	153.791
Julio	219.093	163.049
Agosto	203194	151.217
Septiembre	165525	123.184
Octubre	144845	115.268
Noviembre	99673	79.320
Diciembre	94.317	75.057
Totales	1.851.897	1.420.752

Tabla 6. Datos de producción de energía campo FV del proyecto de Fase II (393,6 kWp)

Mes	Campo 393,6 kWp	
	Energía producida bruta (kWh)	Energía producida neta (kWh)
Enero	44.333	34.462
Febrero	47.852	38.081
Marzo	65.024	51.746
Abril	74.724	59.465
Mayo	87.443	65.075
Junio	91.846	68.351
Julio	97.375	72.466
Agosto	90309	67.208
Septiembre	73567	54.748
Octubre	64376	51.230
Noviembre	44299	35.253
Diciembre	41.919	33.359
Totales	823.065	631.445

4 ESTIMACION DE LA ENERGIA AUTOCONSUMIDA

En el epígrafe anterior se ha calculado la energía mensual y anual que pueden producir los campos fotovoltaicos, pero como el destino de esta energía es el autoconsumo en las estaciones de bombeo, tienen que estar en funcionamiento para que la energía producida se pueda usar.

Las estaciones de bombeo están en funcionamiento durante la campaña de riego para lo cual se consideran los meses de marzo, abril, mayo, junio, julio, agosto, septiembre y octubre. La energía que se produce en el resto de meses no se usará para el bombeo.

Además, hay que considerar que la producción del campo fotovoltaico es mayor que el consumo de la estación de bombeo (que es de 305 kW cuando esté completa la estación de bombeo en fases futuras y de 130 kW con las bombas del subsector de bombeo bajo contempladas en el presente proyecto de Fase II) a partir de un cierto valor de radiación relativamente bajo, pues se tiene como objetivo consumir el mínimo posible de energía de red convencional. Luego tampoco se aprovechará toda la energía producida.

Por último, aunque la energía producida mensualmente sea menor que la consumida no tiene por qué coincidir instantáneamente, ya que el consumo de las estaciones de bombeo cambia constantemente al funcionar a la demanda.

Como se justificó en el Anejo nº 7 «Criterios de diseño y cálculos hidráulicos», el riego del sector de bombeo se ha diseñado para ser realizado desde marzo a octubre durante 8 horas al día (8,5 horas en junio y julio) coincidiendo con la franja horaria de mayor radiación que son las horas de mayor producción de energía. Con el periodo de riego previsto y los caudales de las bombas se podrían llegar a proporcionar un máximo de 4.995,5 m³/ha.año, lo cual no es posible ya que la dotación autorizada por la concesión de aguas es de 3.546 m³/ha.año. Esto quiere decir que se tiene capacidad para generar más energía de la que realmente se puede consumir a lo largo del año (aunque no puntualmente por ser un riego a la demanda dentro de las 8-8,5 horas establecidas para el funcionamiento), luego un 29 % de la energía autoproducida no se podrá consumir por estar limitada la dotación de agua.

En los Apéndices 2 «Cálculos justificativos de potencia bruta, potencia neta y autoconsumo campo fotovoltaico de 885,6 kWp» y 3 «Cálculos justificativos de potencia bruta, potencia neta y autoconsumo campo fotovoltaico de 393,6 kWp», se calcula la energía-potencia producida por periodos cuartohorarios y se determina el número de horas que el campo fotovoltaico estaría produciendo energía para el bombeo dentro de la franja prevista. Con estos parámetros podemos determinar para cada mes, cuál es la energía que se puede autoconsumir de la energía producida. En las siguientes tablas se muestran por meses los resultados de la producción neta

de los campos fotovoltaicos, el autoconsumo potencial (máximo que se podría dar) y real (el que realmente se puede producir) estimados mensualmente.

Tabla 7. Datos de autoconsumo para campo FV completo (885,6 kWp)

Mes	Energía producida neta (kWh)	Autoconsumo kWh	Autoconsumo real kWh
Enero	77.540	0	0
Febrero	85.682	0	0
Marzo	116.428	73.967	52.516
Abril	133.797	73.011	51.838
Mayo	146.419	75.640	53.704
Junio	153.791	77.775	55.220
Julio	163.049	80.368	57.061
Agosto	151.217	75.640	53.704
Septiembre	123.184	72.284	51.321
Octubre	115.268	72.305	51.336
Noviembre	79.320	0	0
Diciembre	75.057	0	0
Totales	1.420.752	600.989	426.702

Tabla 8. Datos de autoconsumo del proyecto de Fase II (393,6 kWp)

Mes	Energía producida neta (kWh)	Autoconsumo kWh	Autoconsumo real kWh
Enero	34.462	0	0
Febrero	38.081	0	0
Marzo	51.746	31.703	22.509
Abril	59.465	31.158	22.122
Mayo	65.075	32.240	22.890
Junio	68.351	33.150	23.537
Julio	72.466	34.255	24.321
Agosto	67.208	32.240	22.890
Septiembre	54.748	30.938	21.966
Octubre	51.230	31.040	22.038
Noviembre	35.253	0	0
Diciembre	33.359	0	0
Totales	631.445	256.724	182.274

En los Apéndices 2 «Cálculos justificativos de potencia bruta, potencia neta y autoconsumo campo fotovoltaico de 885,6 kWp» y 3 «Cálculos justificativos de potencia bruta, potencia neta y autoconsumo campo fotovoltaico de 393,6 kWp», se desarrollan todos los cálculos justificativos.

El consumo de energía de apoyo de la red convencional sería muy bajo y también se estima en los Apéndices 2 «Cálculos justificativos de potencia bruta, potencia neta y autoconsumo campo fotovoltaico de 885,6 kWp» y 3 «Cálculos justificativos de potencia bruta, potencia neta y autoconsumo campo fotovoltaico de 393,6 kWp». Habría que añadir el consumo que se produzca por días nublados de baja radiación en los que se pretenda regar, que no se contempla en la siguiente tabla.

Tabla 9. Datos de consumo de energía de apoyo

	Consumo de energía de red (kW) para campo FV de 393,6 kWp	Consumo de energía de red (kW) para campo FV de 885,6 kWp
ENERO	0	0
FEBRERO	0	0
MARZO	537	1.673
ABRIL	44	195
MAYO	0	0
JUNIO	0	0
JULIO	0	0
AGOSTO	0	0
SEPTIEMBRE	279	947
OCTUBRE	1200	3335
NOVIEMBRE	0	0
DICIEMBRE	0	0
TOTAL	2.059	6.151

5 AHORRO DE ENERGIA Y DE EMISIONES DE CO₂

El ahorro de energía que se alcanzará con el presente proyecto al sustituir los bombeos particulares de cada regante (alimentados por grupos electrógenos) por un bombeo colectivo sería de 182.274 kWh, que corresponde con el autoconsumo estimado real que se puede dar y que se ha calculado anteriormente.

Además de los ahorros económicos que conlleva la instalación de un generador fotovoltaico, también hay que sumarle el beneficio medioambiental que esta lleva consigo, contribuyendo medioambientalmente a generar una energía limpia que posteriormente será consumida, evitando así las emisiones perjudiciales a la atmósfera típicas de las energías convencionales.

Todo esto hace que el generador fotovoltaico propuesto posea una calidad medioambiental excepcional.

La energía generada en un generador fotovoltaico está libre de toda emisión de CO₂. En esto, y su carácter distribuido y modular, radica la ventaja que esta fuente energética tiene sobre las fuentes convencionales.

Al ser esta un energía limpia y libre de emisiones, se está evitando anualmente una emisión de un total de 45.568,5 kg de CO₂ (considerando un coeficiente de paso de CO₂/energía de 0,25 kg CO₂/kWh).

$$\text{Reducción kg de CO}_2 \text{ anual} = 182.274 \text{ kWh} \times 0,25 \text{ kg CO}_2/\text{kWh} = 45.568,5 \text{ kg de CO}_2$$

El ahorro de CO₂ corresponde al autoconsumo calculado (Tabla 8) del proyecto de la Fase II (planta fotovoltaica de 393,6 kWp).

Por tanto, con la actuación proyectada se está contribuyendo positivamente a la lucha contra el cambio climático y sus consecuencias.

APÉNDICE Nº 1

**DATOS DE RADIACIÓN Y TEMPERATURA OBTENIDOS DEL
PROGRAMA PVGIS**

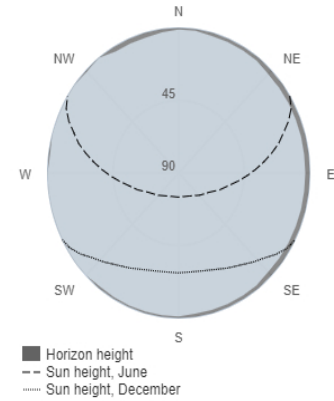
Daily irradiance data

PVGIS-5 geo-temporal irradiation database

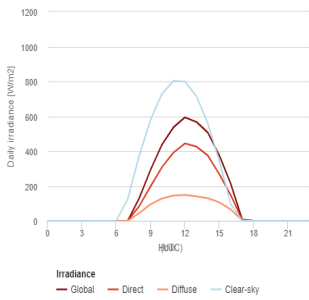
Provided inputs

Latitude/Longitude: 37.661,-2.913
 Horizon: Calculated
 Database used: PVGIS-SARAH2
 Month: January

Outline of horizon at chosen location:



Daily average irradiance on fixed plane with slope 15° and azimuth 0°

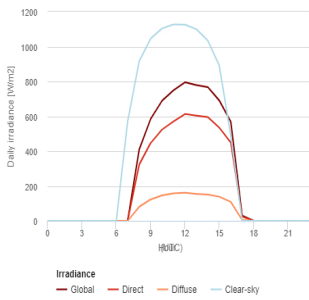


Irradiance on a fixed plane

Time	00:45	01:45	02:45	03:45	04:45	05:45	06:45	07:45	08:45	09:45	10:45	11:45	12:45	13:45	14:45	15:45	16:45	17:45	18:45	19:45	20:45	21:45	22:45	23:45
G(i)	0	0	0	0	0	0	0	0	128	294	438	537	594	568	506	375	213	7	0	0	0	0	0	0
Gb(i)	0	0	0	0	0	0	0	0	84	198	309	391	444	426	375	268	148	4	0	0	0	0	0	0
Gd(i)	0	0	0	0	0	0	0	0	44	94	129	144	148	140	130	107	65	3	0	0	0	0	0	0
Gcs(i)	0	0	0	0	0	0	0	0	124	373	581	729	803	799	715	559	345	97	0	0	0	0	0	0

G(i): Global irradiance on a fixed plane [W/m2].
 Gb(i): Direct irradiance on a fixed plane [W/m2].
 Gd(i): Diffuse irradiance on a fixed plane [W/m2].
 Gcs(i): Global Clear-sky irradiance on a fixed plane [W/m2].

Daily average irradiance on sun-tracking plane

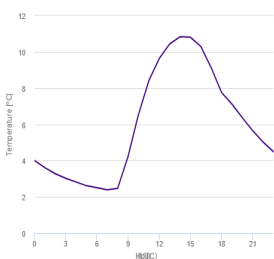


Irradiance on sun-tracking plane

Time	00:45	01:45	02:45	03:45	04:45	05:45	06:45	07:45	08:45	09:45	10:45	11:45	12:45	13:45	14:45	15:45	16:45	17:45	18:45	19:45	20:45	21:45	22:45	23:45
G(n)	0	0	0	0	0	0	0	0	408	584	689	749	795	779	767	691	569	29	0	0	0	0	0	0
Gb(n)	0	0	0	0	0	0	0	0	322	447	524	570	613	604	595	534	449	24	0	0	0	0	0	0
Gd(n)	0	0	0	0	0	0	0	0	80	122	146	158	161	155	151	138	109	5	0	0	0	0	0	0
Gcs(n)	0	0	0	0	0	0	0	0	570	915	1045	1104	1127	1126	1099	1034	891	488	0	0	0	0	0	0

G(n): Global irradiance on a 2-axis tracking plane [W/m2].
 Gb(n): Direct normal irradiance [W/m2].
 Gd(n): Diffuse irradiance on a 2-axis tracking plane [W/m2].
 Gcs(n): Global Clear-sky irradiance on a 2-axis tracking plane [W/m2].

Daily average temperature



Daily average temperature

Time	00:45	01:45	02:45	03:45	04:45	05:45	06:45	07:45	08:45	09:45	10:45	11:45	12:45	13:45	14:45	15:45	16:45	17:45	18:45	19:45	20:45	21:45	22:45	23:45
T2m	4.01	3.61	3.28	3.03	2.82	2.62	2.51	2.39	2.47	4.23	6.54	8.41	9.63	10.43	10.83	10.8	10.29	9.12	7.75	7.11	6.36	5.64	5.02	4.48

T2m: Daily average temperature [°C].

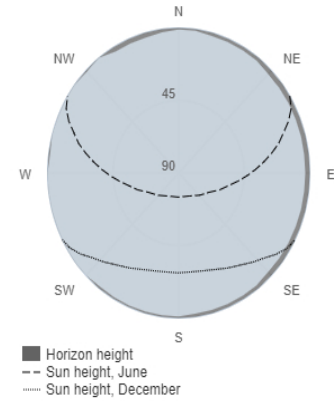
Daily irradiance data

PVGIS-5 geo-temporal irradiation database

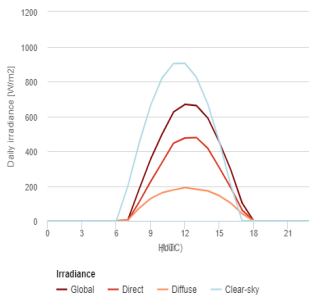
Provided inputs

Latitude/Longitude: 37.661,-2.913
 Horizon: Calculated
 Database used: PVGIS-SARAH2
 Month: February

Outline of horizon at chosen location:



Daily average irradiance on fixed plane with slope 15° and azimuth 0°

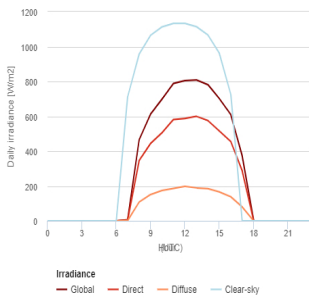


Irradiance on a fixed plane

Time	00:45	01:45	02:45	03:45	04:45	05:45	06:45	07:45	08:45	09:45	10:45	11:45	12:45	13:45	14:45	15:45	16:45	17:45	18:45	19:45	20:45	21:45	22:45	23:45
G(j)	0	0	0	0	0	0	0	4	181	354	497	624	668	661	589	451	293	101	0	0	0	0	0	0
Gb(i)	0	0	0	0	0	0	0	1	108	225	335	445	475	478	416	305	190	61	0	0	0	0	0	0
Gd(i)	0	0	0	0	0	0	0	3	73	128	161	177	191	181	172	144	102	40	0	0	0	0	0	0
Gcs(i)	0	0	0	0	0	0	0	197	446	663	820	902	904	824	670	455	206	0	0	0	0	0	0	0

G(j): Global irradiance on a fixed plane [W/m2].
 Gb(i): Direct irradiance on a fixed plane [W/m2].
 Gd(i): Diffuse irradiance on a fixed plane [W/m2].
 Gcs(i): Global Clear-sky irradiance on a fixed plane [W/m2].

Daily average irradiance on sun-tracking plane

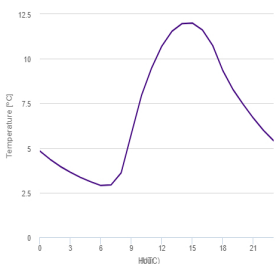


Irradiance on sun-tracking plane

Time	00:45	01:45	02:45	03:45	04:45	05:45	06:45	07:45	08:45	09:45	10:45	11:45	12:45	13:45	14:45	15:45	16:45	17:45	18:45	19:45	20:45	21:45	22:45	23:45
G(n)	0	0	0	0	0	0	0	6	464	613	699	788	805	809	781	701	610	373	0	0	0	0	0	0
Gb(n)	0	0	0	0	0	0	0	4	346	444	505	581	587	600	575	515	456	287	0	0	0	0	0	0
Gd(n)	0	0	0	0	0	0	0	2	107	151	174	186	198	189	185	166	138	80	0	0	0	0	0	0
Gcs(n)	0	0	0	0	0	0	0	713	957	1064	1113	1133	1133	1114	1066	963	727	0	0	0	0	0	0	0

G(n): Global irradiance on a 2-axis tracking plane [W/m2].
 Gb(n): Direct normal irradiance [W/m2].
 Gd(n): Diffuse irradiance on a 2-axis tracking plane [W/m2].
 Gcs(n): Global Clear-sky irradiance on a 2-axis tracking plane [W/m2].

Daily average temperature



Daily average temperature

Time	00:45	01:45	02:45	03:45	04:45	05:45	06:45	07:45	08:45	09:45	10:45	11:45	12:45	13:45	14:45	15:45	16:45	17:45	18:45	19:45	20:45	21:45	22:45	23:45
T2m	4.83	4.37	3.97	3.64	3.35	3.11	2.9	2.93	3.61	5.79	7.94	9.49	10.71	11.54	11.97	12	11.61	10.75	9.34	8.28	7.45	6.68	5.99	5.41

T2m: Daily average temperature [°C].

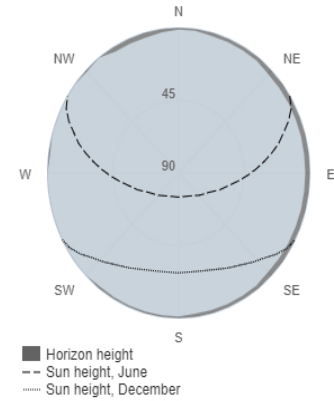
Daily irradiance data

PVGIS-5 geo-temporal irradiation database

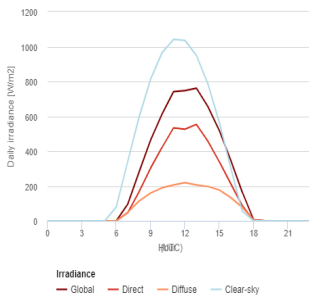
Provided inputs

Latitude/Longitude: 37.661,-2.913
 Horizon: Calculated
 Database used: PVGIS-SARAH2
 Month: March

Outline of horizon at chosen location:



Daily average irradiance on fixed plane with slope 15° and azimuth 0°

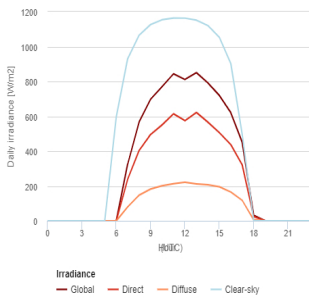


Irradiance on a fixed plane

Time	00:45	01:45	02:45	03:45	04:45	05:45	06:45	07:45	08:45	09:45	10:45	11:45	12:45	13:45	14:45	15:45	16:45	17:45	18:45	19:45	20:45	21:45	22:45	23:45
G(j)	0	0	0	0	0	0	0	95	282	464	612	741	747	762	657	518	348	165	6	0	0	0	0	0
Gb(i)	0	0	0	0	0	0	0	46	167	303	421	533	525	553	458	339	213	87	1	0	0	0	0	0
Gd(i)	0	0	0	0	0	0	0	48	114	160	189	206	219	206	197	177	134	78	4	0	0	0	0	0
Gcs(i)	0	0	0	0	0	0	80	340	597	813	965	1041	1035	949	788	565	305	55	0	0	0	0	0	0

G(j): Global irradiance on a fixed plane [W/m2].
 Gb(i): Direct irradiance on a fixed plane [W/m2].
 Gd(i): Diffuse irradiance on a fixed plane [W/m2].
 Gcs(i): Global Clear-sky irradiance on a fixed plane [W/m2].

Daily average irradiance on sun-tracking plane

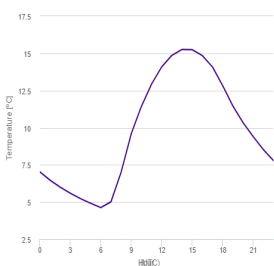


Irradiance on sun-tracking plane

Time	00:45	01:45	02:45	03:45	04:45	05:45	06:45	07:45	08:45	09:45	10:45	11:45	12:45	13:45	14:45	15:45	16:45	17:45	18:45	19:45	20:45	21:45	22:45	23:45
G(n)	0	0	0	0	0	0	0	326	567	697	770	844	811	850	792	720	621	451	32	0	0	0	0	0
Gb(n)	0	0	0	0	0	0	0	239	404	495	550	614	575	622	566	506	438	322	25	0	0	0	0	0
Gd(n)	0	0	0	0	0	0	0	80	147	182	201	213	222	212	207	195	165	118	6	0	0	0	0	0
Gcs(n)	0	0	0	0	0	0	596	931	1065	1126	1154	1164	1163	1151	1121	1053	903	497	0	0	0	0	0	0

G(n): Global irradiance on a 2-axis tracking plane [W/m2].
 Gb(n): Direct normal irradiance [W/m2].
 Gd(n): Diffuse irradiance on a 2-axis tracking plane [W/m2].
 Gcs(n): Global Clear-sky irradiance on a 2-axis tracking plane [W/m2].

Daily average temperature



Daily average temperature

Time	00:45	01:45	02:45	03:45	04:45	05:45	06:45	07:45	08:45	09:45	10:45	11:45	12:45	13:45	14:45	15:45	16:45	17:45	18:45	19:45	20:45	21:45	22:45	23:45
T2m	7.03	6.47	6	5.59	5.23	4.92	4.63	5.02	7.02	9.61	11.45	12.94	14.1	14.87	15.26	15.24	14.84	14.07	12.81	11.45	10.33	9.39	8.52	7.78

T2m: Daily average temperature [°C].

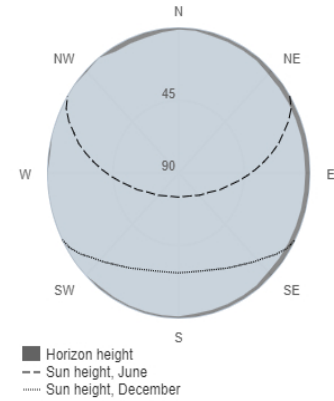
Daily irradiance data

PVGIS-5 geo-temporal irradiation database

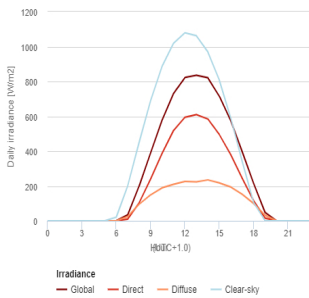
Provided inputs

Latitude/Longitude: 37.661,-2.913
 Horizon: Calculated
 Database used: PVGIS-SARAH2
 Month: April

Outline of horizon at chosen location:



Daily average irradiance on fixed plane with slope 15° and azimuth 0°

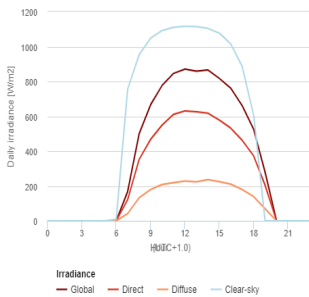


Irradiance on a fixed plane

Time	00:45	01:45	02:45	03:45	04:45	05:45	06:45	07:45	08:45	09:45	10:45	11:45	12:45	13:45	14:45	15:45	16:45	17:45	18:45	19:45	20:45	21:45	22:45	23:45
G(j)	0	0	0	0	0	0	0	34	199	390	577	730	822	835	821	715	576	397	215	48	0	0	0	0
Gb(i)	0	0	0	0	0	0	0	9	103	240	386	518	594	610	584	495	380	244	115	16	0	0	0	0
Gd(i)	0	0	0	0	0	0	0	25	95	149	189	210	226	223	235	218	194	152	99	32	0	0	0	0
Gcs(i)	0	0	0	0	0	0	21	201	451	690	886	1019	1079	1062	969	808	590	341	105	0	0	0	0	0

G(j): Global irradiance on a fixed plane [W/m2].
 Gb(i): Direct irradiance on a fixed plane [W/m2].
 Gd(i): Diffuse irradiance on a fixed plane [W/m2].
 Gcs(i): Global Clear-sky irradiance on a fixed plane [W/m2].

Daily average irradiance on sun-tracking plane

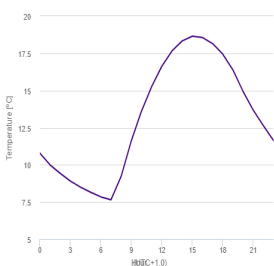


Irradiance on sun-tracking plane

Time	00:45	01:45	02:45	03:45	04:45	05:45	06:45	07:45	08:45	09:45	10:45	11:45	12:45	13:45	14:45	15:45	16:45	17:45	18:45	19:45	20:45	21:45	22:45	23:45
G(n)	0	0	0	0	0	0	0	168	500	666	777	846	871	858	865	818	761	660	526	279	0	0	0	0
Gb(n)	0	0	0	0	0	0	0	123	353	468	549	611	631	626	618	578	532	462	372	205	0	0	0	0
Gd(n)	0	0	0	0	0	0	0	42	133	179	208	219	229	223	237	225	210	179	139	70	0	0	0	0
Gcs(n)	0	0	0	0	0	0	10	756	954	1048	1092	1110	1116	1115	1104	1077	1015	886	606	0	0	0	0	0

G(n): Global irradiance on a 2-axis tracking plane [W/m2].
 Gb(n): Direct normal irradiance [W/m2].
 Gd(n): Diffuse irradiance on a 2-axis tracking plane [W/m2].
 Gcs(n): Global Clear-sky irradiance on a 2-axis tracking plane [W/m2].

Daily average temperature



Daily average temperature

Time	00:45	01:45	02:45	03:45	04:45	05:45	06:45	07:45	08:45	09:45	10:45	11:45	12:45	13:45	14:45	15:45	16:45	17:45	18:45	19:45	20:45	21:45	22:45	23:45
T2m	10.79	10	9.43	8.91	8.5	8.16	7.85	7.65	9.23	11.62	13.61	15.26	16.63	17.66	18.33	18.65	18.56	18.15	17.44	16.38	14.93	13.67	12.63	11.63

T2m: Daily average temperature [°C].

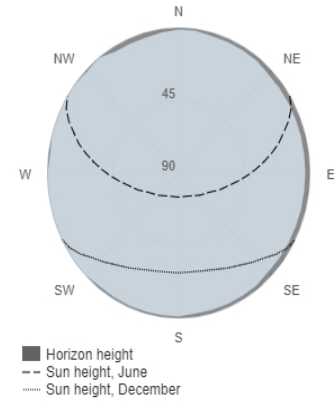
Daily irradiance data

PVGIS-5 geo-temporal irradiation database

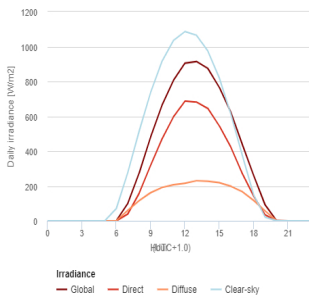
Provided inputs

Latitude/Longitude: 37.661,-2.913
 Horizon: Calculated
 Database used: PVGIS-SARAH2
 Month: May

Outline of horizon at chosen location:



Daily average irradiance on fixed plane with slope 15° and azimuth 0°

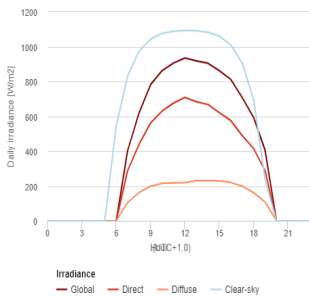


Irradiance on a fixed plane

Time	00:45	01:45	02:45	03:45	04:45	05:45	06:45	07:45	08:45	09:45	10:45	11:45	12:45	13:45	14:45	15:45	16:45	17:45	18:45	19:45	20:45	21:45	22:45	23:45
G(j)	0	0	0	0	0	0	0	98	274	481	663	806	905	914	875	766	625	441	261	92	1	0	0	0
Gb(i)	0	0	0	0	0	0	0	38	157	318	470	597	687	681	645	544	424	272	143	34	0	0	0	0
Gd(i)	0	0	0	0	0	0	0	60	116	161	191	207	216	230	227	219	199	168	117	57	1	0	0	0
Gcs(i)	0	0	0	0	0	0	69	276	514	737	915	1035	1086	1065	975	820	614	379	150	21	0	0	0	0

G(j): Global irradiance on a fixed plane [W/m2].
 Gb(i): Direct irradiance on a fixed plane [W/m2].
 Gd(i): Diffuse irradiance on a fixed plane [W/m2].
 Gcs(i): Global Clear-sky irradiance on a fixed plane [W/m2].

Daily average irradiance on sun-tracking plane

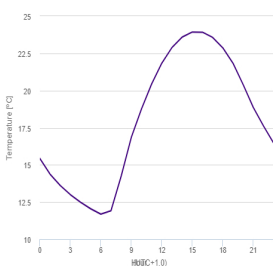


Irradiance on sun-tracking plane

Time	00:45	01:45	02:45	03:45	04:45	05:45	06:45	07:45	08:45	09:45	10:45	11:45	12:45	13:45	14:45	15:45	16:45	17:45	18:45	19:45	20:45	21:45	22:45	23:45
G(n)	0	0	0	0	0	0	0	405	620	781	862	905	934	918	905	861	812	708	593	405	0	0	0	0
Gb(n)	0	0	0	0	0	0	0	289	440	562	630	675	709	683	668	621	575	489	414	288	0	0	0	0
Gd(n)	0	0	0	0	0	0	0	106	163	199	215	218	219	230	230	229	219	199	162	107	0	0	0	0
Gcs(n)	0	0	0	0	0	0	545	832	974	1044	1076	1088	1092	1090	1083	1061	1010	905	696	234	0	0	0	0

G(n): Global irradiance on a 2-axis tracking plane [W/m2].
 Gb(n): Direct normal irradiance [W/m2].
 Gd(n): Diffuse irradiance on a 2-axis tracking plane [W/m2].
 Gcs(n): Global Clear-sky irradiance on a 2-axis tracking plane [W/m2].

Daily average temperature



Daily average temperature

Time	00:45	01:45	02:45	03:45	04:45	05:45	06:45	07:45	08:45	09:45	10:45	11:45	12:45	13:45	14:45	15:45	16:45	17:45	18:45	19:45	20:45	21:45	22:45	23:45
T2m	15.43	14.38	13.62	13	12.49	12.05	11.69	11.92	14.24	16.85	18.76	20.44	21.84	22.89	23.59	23.93	23.92	23.57	22.87	21.84	20.4	18.86	17.62	16.47

T2m: Daily average temperature [°C].

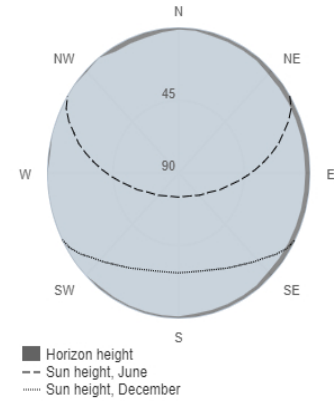
Daily irradiance data

PVGIS-5 geo-temporal irradiation database

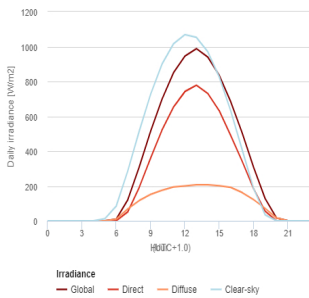
Provided inputs

Latitude/Longitude: 37.661,-2.913
 Horizon: Calculated
 Database used: PVGIS-SARAH2
 Month: June

Outline of horizon at chosen location:



Daily average irradiance on fixed plane with slope 15° and azimuth 0°

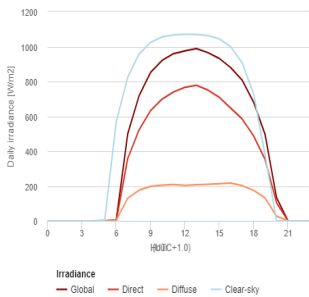


Irradiance on a fixed plane

Time	00:45	01:45	02:45	03:45	04:45	05:45	06:45	07:45	08:45	09:45	10:45	11:45	12:45	13:45	14:45	15:45	16:45	17:45	18:45	19:45	20:45	21:45	22:45	23:45
G(j)	0	0	0	0	0	0	10	120	307	514	698	850	946	988	940	835	683	504	307	128	16	0	0	0
Gb(i)	0	0	0	0	0	0	0	51	190	360	521	652	742	778	730	631	489	340	184	56	0	0	0	0
Gd(i)	0	0	0	0	0	0	10	68	116	152	175	194	200	207	207	201	192	162	121	72	16	0	0	0
Gcs(i)	0	0	0	0	0	11	85	285	513	727	899	1016	1068	1053	970	826	632	407	185	34	0	0	0	0

G(j): Global irradiance on a fixed plane [W/m2].
 Gb(i): Direct irradiance on a fixed plane [W/m2].
 Gd(i): Diffuse irradiance on a fixed plane [W/m2].
 Gcs(i): Global Clear-sky irradiance on a fixed plane [W/m2].

Daily average irradiance on sun-tracking plane

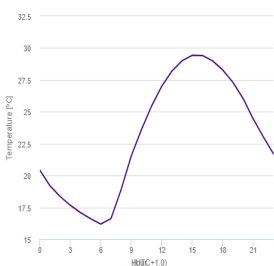


Irradiance on sun-tracking plane

Time	00:45	01:45	02:45	03:45	04:45	05:45	06:45	07:45	08:45	09:45	10:45	11:45	12:45	13:45	14:45	15:45	16:45	17:45	18:45	19:45	20:45	21:45	22:45	23:45
G(n)	0	0	0	0	0	0	5	498	719	852	920	959	975	988	965	932	879	807	681	495	132	0	0	0
Gb(n)	0	0	0	0	0	0	0	357	523	633	698	740	766	778	750	709	646	585	487	352	104	0	0	0
Gd(n)	0	0	0	0	0	0	4	129	176	198	204	209	204	207	210	213	216	202	175	131	27	0	0	0
Gcs(n)	0	0	0	0	0	5	570	824	957	1024	1055	1067	1071	1070	1063	1044	999	906	727	378	0	0	0	0

G(n): Global irradiance on a 2-axis tracking plane [W/m2].
 Gb(n): Direct normal irradiance [W/m2].
 Gd(n): Diffuse irradiance on a 2-axis tracking plane [W/m2].
 Gcs(n): Global Clear-sky irradiance on a 2-axis tracking plane [W/m2].

Daily average temperature



Daily average temperature

Time	00:45	01:45	02:45	03:45	04:45	05:45	06:45	07:45	08:45	09:45	10:45	11:45	12:45	13:45	14:45	15:45	16:45	17:45	18:45	19:45	20:45	21:45	22:45	23:45
T2m	20.43	19.19	18.35	17.66	17.09	16.61	16.19	16.62	18.91	21.55	23.61	25.46	27.01	28.2	29	29.43	29.41	28.99	28.27	27.3	26.04	24.43	23.02	21.67

T2m: Daily average temperature [°C].

The European Commission maintains this website to enhance public access to information about its initiatives and European Union policies in general. Our goal is to keep this information timely and accurate. If errors are brought to our attention, we will try to correct them. However, the Commission accepts no responsibility or liability whatsoever with regard to the information on this site.

It is our goal to minimise disruption caused by technical errors. However, some data or information on this site may have been created or structured in files or formats that are not error-free and we cannot guarantee that our service will not be interrupted or otherwise affected by such problems. The Commission accepts no responsibility or liability whatsoever with regard to such problems incurred as a result of using this site or any linked external sites.

For more information, please visit https://ec.europa.eu/info/legal-notice_en

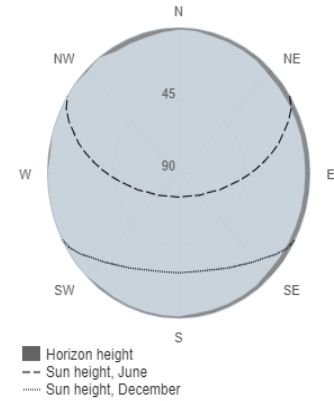
Daily irradiance data

PVGIS-5 geo-temporal irradiation database

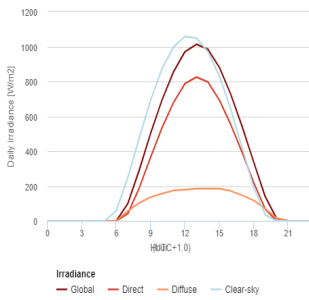
Provided inputs

Latitude/Longitude: 37.661,-2.913
 Horizon: Calculated
 Database used: PVGIS-SARAH2
 Month: July

Outline of horizon at chosen location:



Daily average irradiance on fixed plane with slope 15° and azimuth 0°

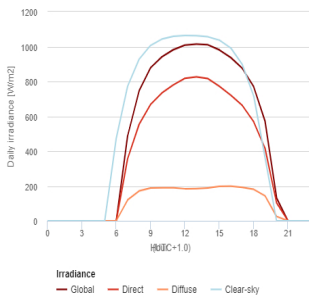


Irradiance on a fixed plane

Time	00:45	01:45	02:45	03:45	04:45	05:45	06:45	07:45	08:45	09:45	10:45	11:45	12:45	13:45	14:45	15:45	16:45	17:45	18:45	19:45	20:45	21:45	22:45	23:45
G(j)	0	0	0	0	0	0	0	97	290	502	694	855	970	1013	985	881	726	541	339	140	15	0	0	0
Gb(i)	0	0	0	0	0	0	0	40	186	365	535	679	787	825	797	693	553	392	220	69	0	0	0	0
Gd(i)	0	0	0	0	0	0	0	56	102	136	157	174	179	185	185	185	171	147	117	71	14	0	0	0
Gcs(i)	0	0	0	0	0	0	58	246	475	693	873	997	1057	1049	972	833	641	418	193	35	0	0	0	0

G(j): Global irradiance on a fixed plane [W/m2].
 Gb(i): Direct irradiance on a fixed plane [W/m2].
 Gd(i): Diffuse irradiance on a fixed plane [W/m2].
 Gcs(i): Global Clear-sky irradiance on a fixed plane [W/m2].

Daily average irradiance on sun-tracking plane

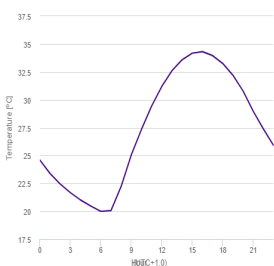


Irradiance on sun-tracking plane

Time	00:45	01:45	02:45	03:45	04:45	05:45	06:45	07:45	08:45	09:45	10:45	11:45	12:45	13:45	14:45	15:45	16:45	17:45	18:45	19:45	20:45	21:45	22:45	23:45
G(n)	0	0	0	0	0	0	0	489	746	879	942	982	1009	1015	1010	981	937	876	771	571	131	0	0	0
Gb(n)	0	0	0	0	0	0	0	358	555	668	734	780	818	826	816	773	721	663	569	415	104	0	0	0
Gd(n)	0	0	0	0	0	0	0	120	171	188	189	190	184	185	188	198	199	191	181	143	25	0	0	0
Gcs(n)	0	0	0	0	0	0	474	773	928	1006	1043	1058	1063	1062	1056	1037	992	898	717	363	0	0	0	0

G(n): Global irradiance on a 2-axis tracking plane [W/m2].
 Gb(n): Direct normal irradiance [W/m2].
 Gd(n): Diffuse irradiance on a 2-axis tracking plane [W/m2].
 Gcs(n): Global Clear-sky irradiance on a 2-axis tracking plane [W/m2].

Daily average temperature



Daily average temperature

Time	00:45	01:45	02:45	03:45	04:45	05:45	06:45	07:45	08:45	09:45	10:45	11:45	12:45	13:45	14:45	15:45	16:45	17:45	18:45	19:45	20:45	21:45	22:45	23:45
T2m	24.6	23.4	22.45	21.68	21.02	20.48	20	20.07	22.24	25.07	27.35	29.44	31.2	32.61	33.59	34.18	34.32	33.96	33.25	32.2	30.78	28.96	27.38	25.9

T2m: Daily average temperature [°C].

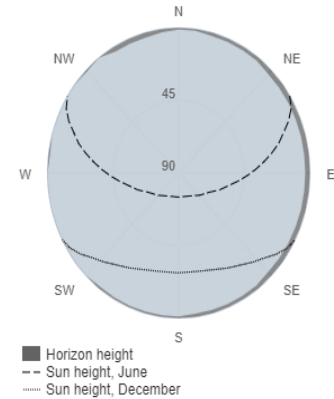
Daily irradiance data

PVGIS-5 geo-temporal irradiation database

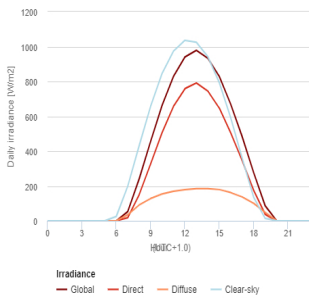
Provided inputs

Latitude/Longitude: 37.661,-2.913
 Horizon: Calculated
 Database used: PVGIS-SARAH2
 Month: August

Outline of horizon at chosen location:



Daily average irradiance on fixed plane with slope 15° and azimuth 0°

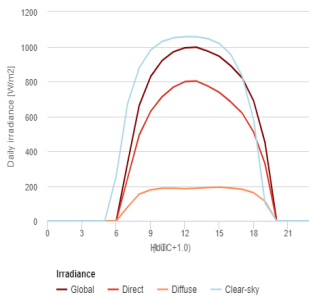


Irradiance on a fixed plane

Time	00:45	01:45	02:45	03:45	04:45	05:45	06:45	07:45	08:45	09:45	10:45	11:45	12:45	13:45	14:45	15:45	16:45	17:45	18:45	19:45	20:45	21:45	22:45	23:45
G(j)	0	0	0	0	0	0	0	53	240	456	661	829	940	978	932	829	669	483	277	87	0	0	0	0
Gb(i)	0	0	0	0	0	0	0	18	148	327	505	657	759	791	744	647	505	344	175	38	0	0	0	0
Gd(i)	0	0	0	0	0	0	0	35	91	128	154	170	178	184	185	179	162	137	101	49	0	0	0	0
Gcs(i)	0	0	0	0	0	0	25	199	431	658	845	975	1036	1025	942	793	592	359	135	14	0	0	0	0

G(j): Global irradiance on a fixed plane [W/m2].
 Gb(i): Direct irradiance on a fixed plane [W/m2].
 Gd(i): Diffuse irradiance on a fixed plane [W/m2].
 Gcs(i): Global Clear-sky irradiance on a fixed plane [W/m2].

Daily average irradiance on sun-tracking plane

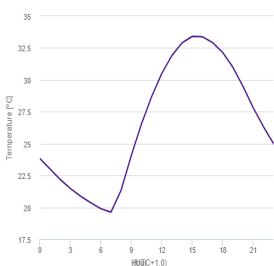


Irradiance on sun-tracking plane

Time	00:45	01:45	02:45	03:45	04:45	05:45	06:45	07:45	08:45	09:45	10:45	11:45	12:45	13:45	14:45	15:45	16:45	17:45	18:45	19:45	20:45	21:45	22:45	23:45
G(n)	0	0	0	0	0	0	0	333	661	827	919	970	993	996	973	944	890	820	689	448	0	0	0	0
Gb(n)	0	0	0	0	0	0	0	247	491	628	712	768	798	802	774	737	683	618	509	327	0	0	0	0
Gd(n)	0	0	0	0	0	0	0	80	153	178	187	187	185	187	190	193	188	181	161	112	0	0	0	0
Gcs(n)	0	0	0	0	0	0	258	675	877	980	1029	1050	1057	1056	1046	1018	956	829	580	100	0	0	0	0

G(n): Global irradiance on a 2-axis tracking plane [W/m2].
 Gb(n): Direct normal irradiance [W/m2].
 Gd(n): Diffuse irradiance on a 2-axis tracking plane [W/m2].
 Gcs(n): Global Clear-sky irradiance on a 2-axis tracking plane [W/m2].

Daily average temperature



Daily average temperature

Time	00:45	01:45	02:45	03:45	04:45	05:45	06:45	07:45	08:45	09:45	10:45	11:45	12:45	13:45	14:45	15:45	16:45	17:45	18:45	19:45	20:45	21:45	22:45	23:45
T2m	23.83	23.01	22.19	21.48	20.88	20.36	19.9	19.62	21.36	24.08	26.55	28.69	30.51	31.92	32.91	33.41	33.38	32.92	32.14	30.98	29.47	27.8	26.33	24.99

T2m: Daily average temperature [°C].

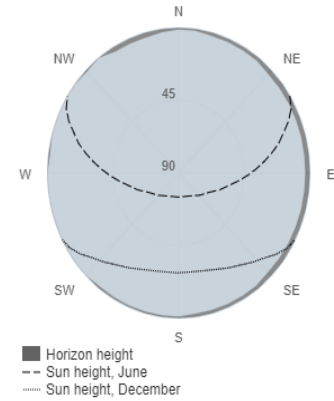
Daily irradiance data

PVGIS-5 geo-temporal irradiation database

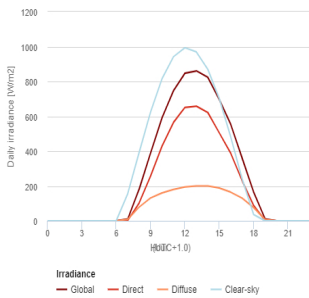
Provided inputs

Latitude/Longitude: 37.661,-2.913
 Horizon: Calculated
 Database used: PVGIS-SARAH2
 Month: September

Outline of horizon at chosen location:



Daily average irradiance on fixed plane with slope 15° and azimuth 0°

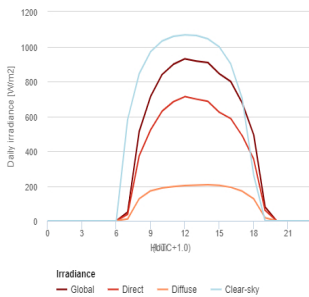


Irradiance on a fixed plane

Time	00:45	01:45	02:45	03:45	04:45	05:45	06:45	07:45	08:45	09:45	10:45	11:45	12:45	13:45	14:45	15:45	16:45	17:45	18:45	19:45	20:45	21:45	22:45	23:45
G(j)	0	0	0	0	0	0	0	10	181	390	591	747	847	860	824	695	554	360	165	10	0	0	0	0
Gb(i)	0	0	0	0	0	0	0	2	102	258	429	565	651	658	622	505	388	229	88	3	0	0	0	0
Gd(i)	0	0	0	0	0	0	0	8	79	131	160	180	194	200	200	189	164	130	76	7	0	0	0	0
Gcs(i)	0	0	0	0	0	0	0	0	155	393	626	815	941	994	969	869	701	481	239	36	0	0	0	0

G(j): Global irradiance on a fixed plane [W/m2].
 Gb(i): Direct irradiance on a fixed plane [W/m2].
 Gd(i): Diffuse irradiance on a fixed plane [W/m2].
 Gcs(i): Global Clear-sky irradiance on a fixed plane [W/m2].

Daily average irradiance on sun-tracking plane

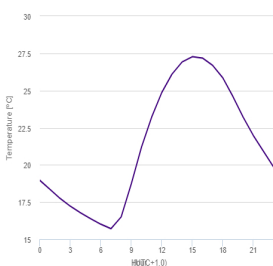


Irradiance on sun-tracking plane

Time	00:45	01:45	02:45	03:45	04:45	05:45	06:45	07:45	08:45	09:45	10:45	11:45	12:45	13:45	14:45	15:45	16:45	17:45	18:45	19:45	20:45	21:45	22:45	23:45
G(n)	0	0	0	0	0	0	0	50	512	714	839	899	930	917	909	844	800	678	495	79	0	0	0	0
Gb(n)	0	0	0	0	0	0	0	38	373	522	629	684	712	698	686	623	587	488	356	60	0	0	0	0
Gd(n)	0	0	0	0	0	0	0	11	127	172	189	196	202	205	207	203	192	170	127	18	0	0	0	0
Gcs(n)	0	0	0	0	0	0	0	583	844	970	1032	1059	1067	1064	1044	998	901	702	261	0	0	0	0	0

G(n): Global irradiance on a 2-axis tracking plane [W/m2].
 Gb(n): Direct normal irradiance [W/m2].
 Gd(n): Diffuse irradiance on a 2-axis tracking plane [W/m2].
 Gcs(n): Global Clear-sky irradiance on a 2-axis tracking plane [W/m2].

Daily average temperature



Daily average temperature

Time	00:45	01:45	02:45	03:45	04:45	05:45	06:45	07:45	08:45	09:45	10:45	11:45	12:45	13:45	14:45	15:45	16:45	17:45	18:45	19:45	20:45	21:45	22:45	23:45
T2m	18.96	18.35	17.74	17.22	16.78	16.38	16.01	15.71	16.5	18.73	21.19	23.21	24.87	26.1	26.92	27.27	27.18	26.69	25.85	24.59	23.21	21.98	20.91	19.85

T2m: Daily average temperature [°C].

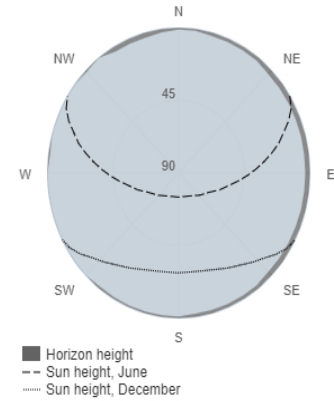
Daily irradiance data

PVGIS-5 geo-temporal irradiation database

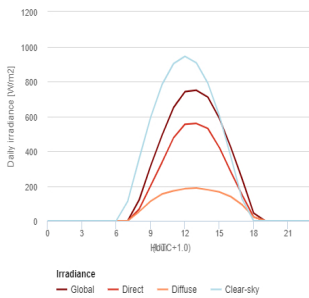
Provided inputs

Latitude/Longitude: 37.661,-2.913
 Horizon: Calculated
 Database used: PVGIS-SARAH2
 Month: October

Outline of horizon at chosen location:



Daily average irradiance on fixed plane with slope 15° and azimuth 0°

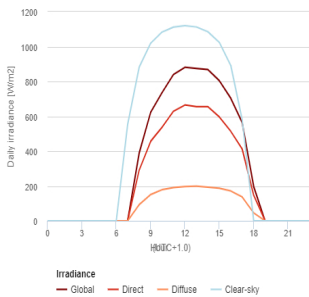


Irradiance on a fixed plane

Time	00:45	01:45	02:45	03:45	04:45	05:45	06:45	07:45	08:45	09:45	10:45	11:45	12:45	13:45	14:45	15:45	16:45	17:45	18:45	19:45	20:45	21:45	22:45	23:45
G(j)	0	0	0	0	0	0	0	0	120	315	490	650	741	749	710	588	423	240	44	0	0	0	0	0
Gb(i)	0	0	0	0	0	0	0	0	67	202	335	476	554	558	530	421	283	147	22	0	0	0	0	0
Gd(i)	0	0	0	0	0	0	0	0	53	112	154	172	184	189	178	166	139	92	22	0	0	0	0	0
Gcs(i)	0	0	0	0	0	0	0	0	112	357	594	782	902	944	906	790	605	371	124	0	0	0	0	0

G(j): Global irradiance on a fixed plane [W/m2].
 Gb(i): Direct irradiance on a fixed plane [W/m2].
 Gd(i): Diffuse irradiance on a fixed plane [W/m2].
 Gcs(i): Global Clear-sky irradiance on a fixed plane [W/m2].

Daily average irradiance on sun-tracking plane

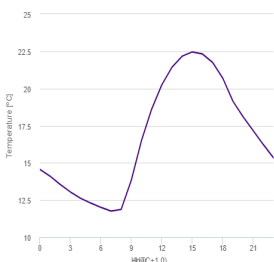


Irradiance on sun-tracking plane

Time	00:45	01:45	02:45	03:45	04:45	05:45	06:45	07:45	08:45	09:45	10:45	11:45	12:45	13:45	14:45	15:45	16:45	17:45	18:45	19:45	20:45	21:45	22:45	23:45
G(n)	0	0	0	0	0	0	0	0	389	622	736	840	881	874	868	804	704	564	196	0	0	0	0	0
Gb(n)	0	0	0	0	0	0	0	0	289	455	537	628	664	655	596	513	412	148	0	0	0	0	0	0
Gd(n)	0	0	0	0	0	0	0	0	92	150	178	190	197	199	192	187	171	137	45	0	0	0	0	0
Gcs(n)	0	0	0	0	0	0	0	0	553	881	1019	1083	1111	1120	1112	1085	1024	891	580	0	0	0	0	0

G(n): Global irradiance on a 2-axis tracking plane [W/m2].
 Gb(n): Direct normal irradiance [W/m2].
 Gd(n): Diffuse irradiance on a 2-axis tracking plane [W/m2].
 Gcs(n): Global Clear-sky irradiance on a 2-axis tracking plane [W/m2].

Daily average temperature



Daily average temperature

Time	00:45	01:45	02:45	03:45	04:45	05:45	06:45	07:45	08:45	09:45	10:45	11:45	12:45	13:45	14:45	15:45	16:45	17:45	18:45	19:45	20:45	21:45	22:45	23:45
T2m	14.56	14.11	13.55	13.05	12.62	12.3	12.01	11.76	11.87	13.84	16.5	18.61	20.25	21.43	22.17	22.46	22.32	21.75	20.69	19.14	18.1	17.16	16.22	15.33

T2m: Daily average temperature [°C].

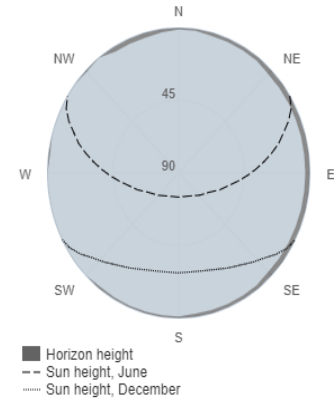
Daily irradiance data

PVGIS-5 geo-temporal irradiation database

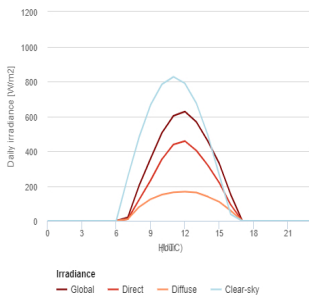
Provided inputs

Latitude/Longitude: 37.661,-2.913
 Horizon: Calculated
 Database used: PVGIS-SARAH2
 Month: November

Outline of horizon at chosen location:



Daily average irradiance on fixed plane with slope 15° and azimuth 0°

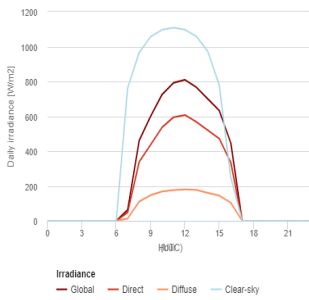


Irradiance on a fixed plane

Time	00:45	01:45	02:45	03:45	04:45	05:45	06:45	07:45	08:45	09:45	10:45	11:45	12:45	13:45	14:45	15:45	16:45	17:45	18:45	19:45	20:45	21:45	22:45	23:45
G(j)	0	0	0	0	0	0	0	18	202	358	506	602	627	567	458	328	151	0	0	0	0	0	0	0
Gb(i)	0	0	0	0	0	0	0	9	122	232	355	438	458	403	318	218	92	0	0	0	0	0	0	0
Gd(i)	0	0	0	0	0	0	0	10	80	124	150	163	168	162	138	109	58	0	0	0	0	0	0	0
Gcs(i)	0	0	0	0	0	0	0	251	481	666	784	826	788	674	492	263	37	0	0	0	0	0	0	0

G(j): Global irradiance on a fixed plane [W/m2].
 Gb(i): Direct irradiance on a fixed plane [W/m2].
 Gd(i): Diffuse irradiance on a fixed plane [W/m2].
 Gcs(i): Global Clear-sky irradiance on a fixed plane [W/m2].

Daily average irradiance on sun-tracking plane

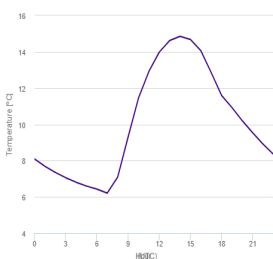


Irradiance on sun-tracking plane

Time	00:45	01:45	02:45	03:45	04:45	05:45	06:45	07:45	08:45	09:45	10:45	11:45	12:45	13:45	14:45	15:45	16:45	17:45	18:45	19:45	20:45	21:45	22:45	23:45
G(n)	0	0	0	0	0	0	0	63	460	600	724	792	809	766	699	632	448	0	0	0	0	0	0	0
Gb(n)	0	0	0	0	0	0	0	48	338	436	536	595	607	568	519	471	336	0	0	0	0	0	0	0
Gd(n)	0	0	0	0	0	0	0	13	110	147	168	176	180	177	160	144	104	0	0	0	0	0	0	0
Gcs(n)	0	0	0	0	0	0	0	763	965	1056	1096	1108	1097	1059	972	778	248	0	0	0	0	0	0	0

G(n): Global irradiance on a 2-axis tracking plane [W/m2].
 Gb(n): Direct normal irradiance [W/m2].
 Gd(n): Diffuse irradiance on a 2-axis tracking plane [W/m2].
 Gcs(n): Global Clear-sky irradiance on a 2-axis tracking plane [W/m2].

Daily average temperature



Daily average temperature

Time	00:45	01:45	02:45	03:45	04:45	05:45	06:45	07:45	08:45	09:45	10:45	11:45	12:45	13:45	14:45	15:45	16:45	17:45	18:45	19:45	20:45	21:45	22:45	23:45
T2m	8.1	7.69	7.35	7.06	6.81	6.6	6.43	6.21	7.09	9.29	11.44	12.91	13.98	14.62	14.85	14.68	14.06	12.85	11.59	10.92	10.19	9.53	8.9	8.34

T2m: Daily average temperature [°C].

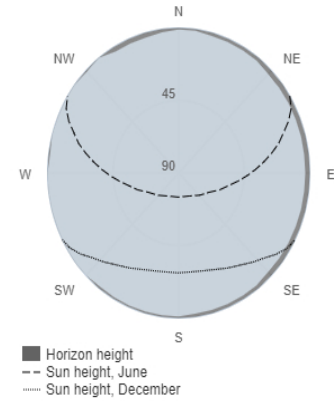
Daily irradiance data

PVGIS-5 geo-temporal irradiation database

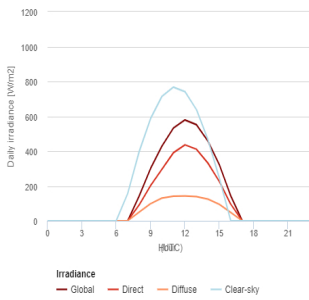
Provided inputs

Latitude/Longitude: 37.661,-2.913
 Horizon: Calculated
 Database used: PVGIS-SARAH2
 Month: December

Outline of horizon at chosen location:



Daily average irradiance on fixed plane with slope 15° and azimuth 0°

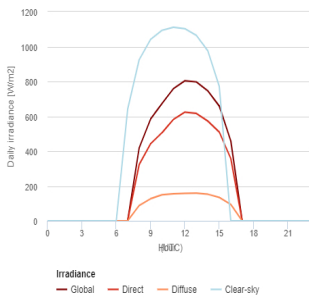


Irradiance on a fixed plane

Time	00:45	01:45	02:45	03:45	04:45	05:45	06:45	07:45	08:45	09:45	10:45	11:45	12:45	13:45	14:45	15:45	16:45	17:45	18:45	19:45	20:45	21:45	22:45	23:45
G(j)	0	0	0	0	0	0	0	0	141	301	430	533	579	552	459	321	144	0	0	0	0	0	0	0
Gb(i)	0	0	0	0	0	0	0	0	91	202	298	391	436	411	332	226	96	0	0	0	0	0	0	0
Gd(i)	0	0	0	0	0	0	0	0	50	99	131	141	142	139	125	95	48	0	0	0	0	0	0	0
Gcs(i)	0	0	0	0	0	0	0	0	157	397	588	715	767	741	639	468	247	0	0	0	0	0	0	0

G(j): Global irradiance on a fixed plane [W/m2].
 Gb(i): Direct irradiance on a fixed plane [W/m2].
 Gd(i): Diffuse irradiance on a fixed plane [W/m2].
 Gcs(i): Global Clear-sky irradiance on a fixed plane [W/m2].

Daily average irradiance on sun-tracking plane

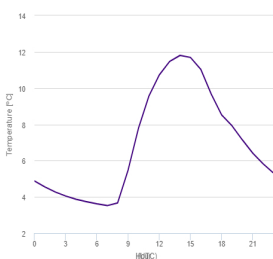


Irradiance on sun-tracking plane

Time	00:45	01:45	02:45	03:45	04:45	05:45	06:45	07:45	08:45	09:45	10:45	11:45	12:45	13:45	14:45	15:45	16:45	17:45	18:45	19:45	20:45	21:45	22:45	23:45
G(n)	0	0	0	0	0	0	0	0	417	584	674	758	804	797	745	659	459	0	0	0	0	0	0	0
Gb(n)	0	0	0	0	0	0	0	0	322	442	506	582	624	616	572	509	358	0	0	0	0	0	0	0
Gd(n)	0	0	0	0	0	0	0	0	88	127	149	156	158	159	152	134	94	0	0	0	0	0	0	0
Gcs(n)	0	0	0	0	0	0	0	0	640	925	1041	1094	1111	1103	1064	975	771	0	0	0	0	0	0	0

G(n): Global irradiance on a 2-axis tracking plane [W/m2].
 Gb(n): Direct normal irradiance [W/m2].
 Gd(n): Diffuse irradiance on a 2-axis tracking plane [W/m2].
 Gcs(n): Global Clear-sky irradiance on a 2-axis tracking plane [W/m2].

Daily average temperature



Daily average temperature

Time	00:45	01:45	02:45	03:45	04:45	05:45	06:45	07:45	08:45	09:45	10:45	11:45	12:45	13:45	14:45	15:45	16:45	17:45	18:45	19:45	20:45	21:45	22:45	23:45
T2m	4.88	4.55	4.27	4.05	3.87	3.74	3.62	3.52	3.67	5.47	7.78	9.55	10.72	11.47	11.8	11.69	11.03	9.67	8.52	7.92	7.14	6.41	5.82	5.31

T2m: Daily average temperature [°C].

APÉNDICE Nº 2

**CÁLCULOS JUSTIFICATIVOS DE POTENCIA BRUTA,
POTENCIA NETA Y AUTOCONSUMO CAMPO FOTOVOLTÁICO
DE 885,6 kWp**

Potencia FV (Wp)
885.600

PRODUCCION ANUAL	Energía producida bruta (kWh)	Energía producida neta (kWh)	Energía autoconsumida (kW)	Energía autoconsumida real (kW)	Consumo de energía de red (kW)
ENERO	99.749	77.540	0	0	0
FEBRERO	107.668	85.682	0	0	0
MARZO	146.304	116.428	73.967	52.516	1.673
ABRIL	168.129	133.797	73.011	51.838	195
MAYO	196.746	146.419	75.640	53.704	0
JUNIO	206.653	153.791	77.775	55.220	0
JULIO	219.093	163.049	80.368	57.061	0
AGOSTO	203194	151.217	75.640	53.704	0
SEPTIEMBRE	165525	123.184	72.284	51.321	947
OCTUBRE	144845	115.268	72.305	51.336	3335
NOVIEMBRE	99673	79.320	0	0	0
DICIEMBRE	94.317	75.057	0	0	0
TOTAL	1.851.897	1.420.752	600.989	426.702	6.151

ENERO

HORA LOCAL	G (W/m ²)	Fp (%)	Potencia generada bruta Campo FV 885,6 kW	Potencia generada neta Campo FV 885,6 kW
8:15	0	0	0	0
8:30	96	9,6	85	68
8:45	128	12,8	113	90
9:00	170	16,95	150	119
9:15	211	21,1	187	149
9:30	253	25,25	224	178
9:45	294	29,4	260	207
10:00	330	33	292	233
10:15	366	36,6	324	258
10:30	402	40,2	356	283
10:45	438	43,8	388	309
11:00	463	46,275	410	326
11:15	488	48,75	432	344
11:30	512	51,225	454	361
11:45	537	53,7	476	378
12:00	551	55,125	488	388
12:15	566	56,55	501	399
12:30	580	57,975	513	409
12:45	594	59,4	526	419
13:00	588	58,75	520	414
13:15	581	58,1	515	409
13:30	575	57,45	509	405
13:45	568	56,8	503	400
14:00	553	55,25	489	389
14:15	537	53,7	476	378
14:30	522	52,15	462	368
14:45	506	50,6	448	357
15:00	473	47,325	419	334
15:15	441	44,05	390	310
15:30	408	40,775	361	287
15:45	375	37,5	332	264
16:00	335	33,45	296	236
16:15	294	29,4	260	207
16:30	254	25,35	224	179
16:45	213	21,3	189	150
17:00	162	16,15	143	114
17:15	110	11	97	78
17:30	59	5,85	52	41
17:45	7	0,7	6	5
18:00	0	0	0	0
			12.871	10.005

FEBRERO

HORA LOCAL	G (W/m ²)	Fp (%)	Potencia generada bruta Campo FV 885,6 kW	Potencia generada neta Campo FV 885,6 kW
8:15	0	0	0	0
8:30	115	11,5	102	81
8:45	181	18,1	160	128
9:00	224	22,425	199	158
9:15	268	26,75	237	189
9:30	311	31,075	275	219
9:45	354	35,4	314	249
10:00	390	38,975	345	275
10:15	426	42,55	377	300
10:30	461	46,125	408	325
10:45	497	49,7	440	350
11:00	529	52,875	468	373
11:15	561	56,05	496	395
11:30	592	59,225	524	417
11:45	624	62,4	553	440
12:00	635	63,5	562	448
12:15	646	64,6	572	455
12:30	657	65,7	582	463
12:45	668	66,8	592	471
13:00	666	66,625	590	470
13:15	665	66,45	588	468
13:30	663	66,275	587	467
13:45	661	66,1	585	466
14:00	643	64,3	569	453
14:15	625	62,5	554	440
14:30	607	60,7	538	428
14:45	589	58,9	522	415
15:00	555	55,45	491	391
15:15	520	52	461	366
15:30	486	48,55	430	342
15:45	451	45,1	399	318
16:00	412	41,15	364	290
16:15	372	37,2	329	262
16:30	333	33,25	294	234
16:45	293	29,3	259	206
17:00	245	24,5	217	173
17:15	197	19,7	174	139
17:30	149	14,9	132	105
17:45	101	10,1	89	71
18:00	0	0	0	0
			15.381	12.240

MARZO

POTENCIA BOMBEO (kW)

305

HORA LOCAL	G (W/m ²)	Fp (%)	Potencia generada bruta Campo FV 885,6 kW	Potencia generada neta Campo	Potencia tomada red electrica (kW)	Energia autoconsumida (kW)
7:45	0	0	0	0		
8:00	24	2,375	21	17		
8:15	48	4,75	42	33		
8:30	71	7,125	63	50		
8:45	95	9,5	84	67		
9:00	142	14,175	126	100		
9:15	189	18,85	167	133		
9:30	235	23,525	208	166		
9:45	282	28,2	250	199		
10:00	328	32,75	290	231	-74,19	231
10:15	373	37,3	330	263	-42,12	262,88
10:30	419	41,85	371	295	-10,06	294,94
10:45	464	46,4	411	327		305,00
11:00	501	50,1	444	353		305,00
11:15	538	53,8	476	379		305,00
11:30	575	57,5	509	405		305,00
11:45	612	61,2	542	431		305,00
12:00	644	64,425	571	454		305,00
12:15	677	67,65	599	477		305,00
12:30	709	70,875	628	499		305,00
12:45	741	74,1	656	522		305,00
13:00	743	74,25	658	523		305,00
13:15	744	74,4	659	524		305,00
13:30	746	74,55	660	525		305,00
13:45	747	74,7	662	526		305,00
14:00	751	75,075	665	529		305,00
14:15	755	75,45	668	532		305,00
14:30	758	75,825	672	534		305,00
14:45	762	76,2	675	537		305,00
15:00	736	73,575	652	519		305,00
15:15	710	70,95	628	500		305,00
15:30	683	68,325	605	482		305,00
15:45	657	65,7	582	463		305,00
16:00	622	62,225	551	439		305,00
16:15	588	58,75	520	414		305,00
16:30	553	55,275	490	390		305,00
16:45	518	51,8	459	365		305,00
17:00	476	47,55	421	335		305,00
17:15	433	43,3	383	305		305,00
17:30	391	39,05	346	275	-29,79	275,21
17:45	348	34,8	308	245	-59,74	245
18:00	302	30,225	268	213		
18:15	257	25,65	227	181		
18:30	211	21,075	187	149		
18:45	165	16,5	146	116		
			18.878	15.023		9.544

ENERGIA NECESARIA DE LA RED ELECTRICA
(kWh/dia)

54

ENERGIA NECESARIA DE LA RED ELECTRICA
(kWh/mes)

1.673

ABRIL

POTENCIA BOMBEO (kW)

305

HORA LOCAL	G (W/m ²)	Fp (%)	Potencia generada bruta Campo FV 885,6 kW	Potencia generada neta Campo FV 885,6 kW	Potencia tomada red electrica (kW)	Energia autoconsumida (kW)
7:45	34	3,4	30	24		
8:00	75	7,525	67	53		
8:15	117	11,65	103	82		
8:30	158	15,775	140	111		
8:45	199	19,9	176	140		
9:00	247	24,675	219	174		
9:15	295	29,45	261	208		
9:30	342	34,225	303	241		
9:45	390	39	345	275		
10:00	437	43,675	387	308		305,0000
10:15	484	48,35	428	341		305,0000
10:30	530	53,025	470	374		305,0000
10:45	577	57,7	511	407		305,0000
11:00	615	61,525	545	434		305,0000
11:15	654	65,35	579	461		305,0000
11:30	692	69,175	613	488		305,0000
11:45	730	73	646	514		305,0000
12:00	753	75,3	667	531		305,0000
12:15	776	77,6	687	547		305,0000
12:30	799	79,9	708	563		305,0000
12:45	822	82,2	728	579		305,0000
13:00	825	82,525	731	582		305,0000
13:15	829	82,85	734	584		305,0000
13:30	832	83,175	737	586		305,0000
13:45	835	83,5	739	588		305,0000
14:00	832	83,15	736	586		305,0000
14:15	828	82,8	733	584		305,0000
14:30	825	82,45	730	581		305,0000
14:45	821	82,1	727	579		305,0000
15:00	795	79,45	704	560		305,0000
15:15	768	76,8	680	541		305,0000
15:30	742	74,15	657	523		305,0000
15:45	715	71,5	633	504		305,0000
16:00	680	68,025	602	479		305,0000
16:15	646	64,55	572	455		305,0000
16:30	611	61,075	541	430		305,0000
16:45	576	57,6	510	406		305,0000
17:00	531	53,125	470	374		305,0000
17:15	487	48,65	431	343		305,0000
17:30	442	44,175	391	311		305,0000
17:45	397	39,7	352	280	-25,21	280
18:00	352	35,15	311	248		
18:15	306	30,6	271	216		
18:30	261	26,05	231	184		
18:45	215	21,5	190	152		
19:00	173	17,325	153	122		
19:15	132	13,15	116	93		
19:30	90	8,975	79	63		
19:45	48	4,8	43	34		
			22.417	17.840		9.735

ENERGIA NECESARIA DE LA RED ELECTRICA (kWh/dia)	6
ENERGIA NECESARIA DE LA RED ELECTRICA (kWh/mes)	195

MAYO

POTENCIA BOMBEO (kW)

305

HORA LOCAL	G (W/m ²)	Fp (%)	Potencia generada bruta Campo FV 885,6 kW	Potencia generada neta Campo FV 885,6 kW	Potencia tomada red electrica (kW)	Energia autoconsumida (kW)
6:45	0	0	0	0		
7:00	25	2,45	22	16		
7:15	49	4,9	43	32		
7:30	74	7,35	65	48		
7:45	98	9,8	87	65		
8:00	142	14,2	126	94		
8:15	186	18,6	165	123		
8:30	230	23	204	152		
8:45	274	27,4	243	181		
9:00	326	32,575	288	215		
9:15	378	37,75	334	249		
9:30	429	42,925	380	283		
9:45	481	48,1	426	317		305,00
10:00	527	52,65	466	347		305,00
10:15	572	57,2	507	377		305,00
10:30	618	61,75	547	407		305,00
10:45	663	66,3	587	437		305,00
11:00	699	69,875	619	461		305,00
11:15	735	73,45	650	484		305,00
11:30	770	77,025	682	508		305,00
11:45	806	80,6	714	531		305,00
12:00	831	83,075	736	548		305,00
12:15	856	85,55	758	564		305,00
12:30	880	88,025	780	580		305,00
12:45	905	90,5	801	596		305,00
13:00	907	90,725	803	598		305,00
13:15	910	90,95	805	599		305,00
13:30	912	91,175	807	601		305,00
13:45	914	91,4	809	602		305,00
14:00	904	90,425	801	596		305,00
14:15	895	89,45	792	590		305,00
14:30	885	88,475	784	583		305,00
14:45	875	87,5	775	577		305,00
15:00	848	84,775	751	559		305,00
15:15	821	82,05	727	541		305,00
15:30	793	79,325	703	523		305,00
15:45	766	76,6	678	505		305,00
16:00	731	73,075	647	482		305,00
16:15	696	69,55	616	458		305,00
16:30	660	66,025	585	435		305,00
16:45	625	62,5	554	412		305,00
17:00	579	57,9	513	382		305,00
17:15	533	53,3	472	351		305,00
17:30	487	48,7	431	321		305,00
17:45	441	44,1	391	291		
18:00	396	39,6	351	261		
18:15	351	35,1	311	231		
18:30	306	30,6	271	202		
18:45	261	26,1	231	172		
19:00	219	21,875	194	144		
19:15	177	17,65	156	116		
19:30	134	13,425	119	88		
19:45	92	9,2	81	61		
			25.387	18.893		9.760

ENERGIA NECESARIA DE LA RED ELECTRICA (kWh/dia)	0
ENERGIA NECESARIA DE LA RED ELECTRICA (kWh/mes)	0

JUNIO

POTENCIA BOMBEO (kW)

305

HORA LOCAL	G (W/m ²)	Fp (%)	Potencia generada bruta Campo FV 885,6 kW	Potencia generada neta Campo FV 885,6 kW	Potencia tomada red electrica (kW)	Energia autoconsumida (kW)
6:45	10	1	9	7		
7:00	38	4	33	25		
7:15	65	7	58	43		
7:30	93	9	82	61		
7:45	120	12	106	79		
8:00	167	17	148	110		
8:15	214	21	189	141		
8:30	260	26	230	172		
8:45	307	31	272	202		
9:00	359	36	318	236		
9:15	411	41	364	271		
9:30	462	46	409	305		305,00
9:45	514	51	455	339		305,00
10:00	560	56	496	369		305,00
10:15	606	61	537	399		305,00
10:30	652	65	577	430		305,00
10:45	698	70	618	460		305,00
11:00	736	74	652	485		305,00
11:15	774	77	685	510		305,00
11:30	812	81	719	535		305,00
11:45	850	85	753	560		305,00
12:00	874	87	774	576		305,00
12:15	898	90	795	592		305,00
12:30	922	92	817	608		305,00
12:45	946	95	838	623		305,00
13:00	957	96	847	630		305,00
13:15	967	97	856	637		305,00
13:30	978	98	866	644		305,00
13:45	988	99	875	651		305,00
14:00	976	98	864	643		305,00
14:15	964	96	854	635		305,00
14:30	952	95	843	627		305,00
14:45	940	94	832	620		305,00
15:00	914	91	809	602		305,00
15:15	888	89	786	585		305,00
15:30	861	86	763	568		305,00
15:45	835	84	739	550		305,00
16:00	797	80	706	525		305,00
16:15	759	76	672	500		305,00
16:30	721	72	639	475		305,00
16:45	683	68	605	450		305,00
17:00	638	64	565	421		305,00
17:15	594	59	526	391		305,00
17:30	549	55	486	362		305,00
17:45	504	50	446	332		305,00
18:00	455	45	403	300		
18:15	406	41	359	267		
18:30	356	36	315	235		
18:45	307	31	272	202		
19:00	262	26	232	173		
19:15	218	22	193	143		
19:30	173	17	153	114		
19:45	128	13	113	84		
			27.554	20.505		10.370

ENERGIA NECESARIA DE LA RED ELECTRICA (kWh/dia)	0
ENERGIA NECESARIA DE LA RED ELECTRICA (kWh/mes)	0

JULIO

POTENCIA BOMBEO (kW)

305

HORA LOCAL	G (W/m ²)	Fp (%)	Potencia generada bruta Campo FV 885,6 kW	Potencia generada neta Campo FV 885,6 kW	Potencia tomada red electrica (kW)	Energia autoconsumida (kW)
6:45	0	0	0	0		
7:00	24	2,425	21	16		
7:15	49	4,85	43	32		
7:30	73	7,275	64	48		
7:45	97	9,7	86	64		
8:00	145	14,525	129	96		
8:15	194	19,35	171	128		
8:30	242	24,175	214	159		
8:45	290	29	257	191		
9:00	343	34,3	304	226		
9:15	396	39,6	351	261		
9:30	449	44,9	398	296		
9:45	502	50,2	445	331		305,00
10:00	550	55	487	362		305,00
10:15	598	59,8	530	394		305,00
10:30	646	64,6	572	426		305,00
10:45	694	69,4	615	457		305,00
11:00	734	73,425	650	484		305,00
11:15	775	77,45	686	510		305,00
11:30	815	81,475	722	537		305,00
11:45	855	85,5	757	563		305,00
12:00	884	88,375	783	582		305,00
12:15	913	91,25	808	601		305,00
12:30	941	94,125	834	620		305,00
12:45	970	97	859	639		305,00
13:00	981	98,075	869	646		305,00
13:15	992	99,15	878	653		305,00
13:30	1002	100,225	888	661		305,00
13:45	1013	101,3	897	668		305,00
14:00	1006	100,6	891	663		305,00
14:15	999	99,9	885	658		305,00
14:30	992	99,2	879	654		305,00
14:45	985	98,5	872	649		305,00
15:00	959	95,9	849	632		305,00
15:15	933	93,3	826	615		305,00
15:30	907	90,7	803	598		305,00
15:45	881	88,1	780	581		305,00
16:00	842	84,225	746	555		305,00
16:15	804	80,35	712	530		305,00
16:30	765	76,475	677	504		305,00
16:45	726	72,6	643	478		305,00
17:00	680	67,975	602	448		305,00
17:15	634	63,35	561	418		305,00
17:30	587	58,725	520	387		305,00
17:45	541	54,1	479	357		305,00
18:00	491	49,05	434	323		305,00
18:15	440	44	390	290		
18:30	390	38,95	345	257		
18:45	339	33,9	300	223		
19:00	289	28,925	256	191		
19:15	240	23,95	212	158		
19:30	190	18,975	168	125		
19:45	140	14	124	92		
			28.270	21.039		10.370

ENERGIA NECESARIA DE LA RED ELECTRICA (kWh/dia)	0
ENERGIA NECESARIA DE LA RED ELECTRICA (kWh/mes)	0

AGOSTO

POTENCIA BOMBEO (kW)

305

HORA LOCAL	G (W/m ²)	Fp (%)	Potencia generada bruta Campo FV 885,6 kW	Potencia generada neta Campo FV 885,6 kW	Potencia tomada red electrica (kW)	Energia autoconsumida (kW)
6:45	0	0	0	0		
7:00	13	1,325	12	9		
7:15	27	2,65	23	17		
7:30	40	3,975	35	26		
7:45	53	5,3	47	35		
8:00	100	9,975	88	66		
8:15	147	14,65	130	97		
8:30	193	19,325	171	127		
8:45	240	24	213	158		
9:00	294	29,4	260	194		
9:15	348	34,8	308	229		
9:30	402	40,2	356	265		
9:45	456	45,6	404	301		
10:00	507	50,725	449	334		305,00
10:15	559	55,85	495	368		305,00
10:30	610	60,975	540	402		305,00
10:45	661	66,1	585	436		305,00
11:00	703	70,3	623	463		305,00
11:15	745	74,5	660	491		305,00
11:30	787	78,7	697	519		305,00
11:45	829	82,9	734	546		305,00
12:00	857	85,675	759	565		305,00
12:15	885	88,45	783	583		305,00
12:30	912	91,225	808	601		305,00
12:45	940	94	832	620		305,00
13:00	950	94,95	841	626		305,00
13:15	959	95,9	849	632		305,00
13:30	969	96,85	858	638		305,00
13:45	978	97,8	866	645		305,00
14:00	967	96,65	856	637		305,00
14:15	955	95,5	846	629		305,00
14:30	944	94,35	836	622		305,00
14:45	932	93,2	825	614		305,00
15:00	906	90,625	803	597		305,00
15:15	881	88,05	780	580		305,00
15:30	855	85,475	757	563		305,00
15:45	829	82,9	734	546		305,00
16:00	789	78,9	699	520		305,00
16:15	749	74,9	663	494		305,00
16:30	709	70,9	628	467		305,00
16:45	669	66,9	592	441		305,00
17:00	623	62,25	551	410		305,00
17:15	576	57,6	510	380		305,00
17:30	530	52,95	469	349		305,00
17:45	483	48,3	428	318		305,00
18:00	432	43,15	382	284		
18:15	380	38	337	250		
18:30	329	32,85	291	217		
18:45	277	27,7	245	183		
19:00	230	22,95	203	151		
19:15	182	18,2	161	120		
19:30	135	13,45	119	89		
19:45	87	8,7	77	57		
			26219	19512		9760

ENERGIA NECESARIA DE LA RED ELECTRICA (kWh/dia)	0
ENERGIA NECESARIA DE LA RED ELECTRICA (kWh/mes)	0

SEPTIEMBRE

POTENCIA BOMBEO (kW)

305

HORA LOCAL	G (W/m ²)	Fp (%)	Potencia generada bruta Campo FV 885,6 kW	Potencia generada neta Campo FV 885,6 kW	Potencia tomada red electrica (kW)	Energia autoconsumida (kW)
6:45	0	0	0	0		
7:00	3	0,25	2	2		
7:15	5	0,5	4	3		
7:30	8	0,75	7	5		
7:45	10	1	9	7		
8:00	53	5,275	47	35		
8:15	96	9,55	85	63		
8:30	138	13,825	122	91		
8:45	181	18,1	160	119		
9:00	233	23,325	207	154		
9:15	286	28,55	253	188		
9:30	338	33,775	299	223		
9:45	390	39	345	257		
10:00	440	44,025	390	290	-15	290,15
10:15	491	49,05	434	323		305,00
10:30	541	54,075	479	356		305,00
10:45	591	59,1	523	390		305,00
11:00	630	63	558	415		305,00
11:15	669	66,9	592	441		305,00
11:30	708	70,8	627	467		305,00
11:45	747	74,7	662	492		305,00
12:00	772	77,2	684	509		305,00
12:15	797	79,7	706	525		305,00
12:30	822	82,2	728	542		305,00
12:45	847	84,7	750	558		305,00
13:00	850	85,025	753	560		305,00
13:15	854	85,35	756	563		305,00
13:30	857	85,675	759	565		305,00
13:45	860	86	762	567		305,00
14:00	851	85,1	754	561		305,00
14:15	842	84,2	746	555		305,00
14:30	833	83,3	738	549		305,00
14:45	824	82,4	730	543		305,00
15:00	792	79,175	701	522		305,00
15:15	760	75,95	673	501		305,00
15:30	727	72,725	644	479		305,00
15:45	695	69,5	615	458		305,00
16:00	660	65,975	584	435		305,00
16:15	625	62,45	553	412		305,00
16:30	589	58,925	522	388		305,00
16:45	554	55,4	491	365		305,00
17:00	506	50,55	448	333		305,00
17:15	457	45,7	405	301	-4	301,19
17:30	409	40,85	362	269	-36	269
17:45	360	36	319	237	-68	237
18:00	311	31,125	276	205		
18:15	263	26,25	232	173		
18:30	214	21,375	189	141		
18:45	165	16,5	146	109		
19:00	126	12,625	112	83		
19:15	88	8,75	77	58		
19:30	49	4,875	43	32		
19:45	10	1	9	7		
			22070	16425		9638

ENERGIA NECESARIA DE LA RED ELECTRICA (kWh/dia)	31
ENERGIA NECESARIA DE LA RED ELECTRICA (kWh/mes)	947

OCTUBRE

POTENCIA BOMBEO (kW)

305

HORA LOCAL	G (W/m ²)	Fp (%)	Potencia generada bruta Campo FV 885,6 kW	Potencia generada neta Campo FV 885,6 kW	Potencia tomada red electrica (kW)	Energia autoconsumida (kW)
6:45	0	0	0	0		
7:00	3	0,25	2	2		
7:15	5	0,5	4	4		
7:30	8	0,75	7	5		
7:45	10	1	9	7		
8:00	38	3,75	33	26		
8:15	65	6,5	58	46		
8:30	93	9,25	82	65		
8:45	120	12	106	85		
9:00	169	16,875	149	119		
9:15	218	21,75	193	153		
9:30	266	26,625	236	188		
9:45	315	31,5	279	222		
10:00	359	35,875	318	253	-52	253
10:15	403	40,25	356	284	-21	284
10:30	446	44,625	395	314		305,00
10:45	490	49	434	345		305,00
11:00	530	53	469	374		305,00
11:15	570	57	505	402		305,00
11:30	610	61	540	430		305,00
11:45	650	65	576	458		305,00
12:00	673	67,275	596	474		305,00
12:15	696	69,55	616	490		305,00
12:30	718	71,825	636	506		305,00
12:45	741	74,1	656	522		305,00
13:00	743	74,3	658	524		305,00
13:15	745	74,5	660	525		305,00
13:30	747	74,7	662	526		305,00
13:45	749	74,9	663	528		305,00
14:00	739	73,925	655	521		305,00
14:15	730	72,95	646	514		305,00
14:30	720	71,975	637	507		305,00
14:45	710	71	629	500		305,00
15:00	680	67,95	602	479		305,00
15:15	649	64,9	575	457		305,00
15:30	619	61,85	548	436		305,00
15:45	588	58,8	521	414		305,00
16:00	547	54,675	484	385		305,00
16:15	506	50,55	448	356		305,00
16:30	464	46,425	411	327		305,00
16:45	423	42,3	375	298	-7	298
17:00	377	37,725	334	266	-39	266
17:15	332	33,15	294	234	-71	234
17:30	286	28,575	253	201	-104	201
17:45	240	24	213	169	-136	169
18:00	221	22,125	196	156		
18:15	203	20,25	179	143		
18:30	184	18,375	163	129		
18:45	165	44	390	310		
19:00	126	12,625	112	89		
19:15	88	8,75	77	62		
19:30	49	4,875	43	34		
19:45	10	1	9	7		
			18690	14873		9.330

ENERGIA NECESARIA DE LA RED ELECTRICA (kWh/dia)	108
ENERGIA NECESARIA DE LA RED ELECTRICA (kWh/mes)	3335

NOVIEMBRE

HORA LOCAL	G (W/m ²)	Fp (%)	Potencia generada bruta Campo FV 885,6 kW	Potencia generada neta Campo FV 885,6 kW
8:15	0	0	0	0
8:30	96	9,6	85	68
8:45	202	20,2	179	142
9:00	241	24,1	213	170
9:15	280	28	248	197
9:30	319	31,9	283	225
9:45	358	35,8	317	252
10:00	395	39,5	350	278
10:15	432	43,2	383	304
10:30	469	46,9	415	331
10:45	506	50,6	448	357
11:00	530	53	469	374
11:15	554	55,4	491	390
11:30	578	57,8	512	407
11:45	602	60,2	533	424
12:00	608	60,825	539	429
12:15	615	61,45	544	433
12:30	621	62,075	550	437
12:45	627	62,7	555	442
13:00	612	61,2	542	431
13:15	597	59,7	529	421
13:30	582	58,2	515	410
13:45	567	56,7	502	400
14:00	540	53,975	478	380
14:15	513	51,25	454	361
14:30	485	48,525	430	342
14:45	458	45,8	406	323
15:00	426	42,55	377	300
15:15	393	39,3	348	277
15:30	361	36,05	319	254
15:45	328	32,8	290	231
16:00	284	28,375	251	200
16:15	240	23,95	212	169
16:30	195	19,525	173	138
16:45	151	15,1	134	106
17:00	115	11,5	102	81
17:15	79	7,9	70	56
17:30	43	4,3	38	30
17:45	7	0,7	6	5
18:00	0	0	0	0
			13289,756	10575,988

DICIEMBRE

HORA LOCAL	G (W/m ²)	Fp (%)	Potencia generada bruta Campo FV 885,6 kW	Potencia generada neta Campo FV 885,6 kW
8:15	0	0	0	0
8:30	96	9,6	85	68
8:45	141	14,1	125	99
9:00	181	18,1	160	128
9:15	221	22,1	196	156
9:30	261	26,1	231	184
9:45	301	30,1	267	212
10:00	333	33,325	295	235
10:15	366	36,55	324	258
10:30	398	39,775	352	280
10:45	430	43	381	303
11:00	456	45,575	404	321
11:15	482	48,15	426	339
11:30	507	50,725	449	357
11:45	533	53,3	472	376
12:00	545	54,45	482	384
12:15	556	55,6	492	392
12:30	568	56,75	503	400
12:45	579	57,9	513	408
13:00	572	57,225	507	403
13:15	566	56,55	501	399
13:30	559	55,875	495	394
13:45	552	55,2	489	389
14:00	529	52,875	468	373
14:15	506	50,55	448	356
14:30	482	48,225	427	340
14:45	459	45,9	406	323
15:00	425	42,45	376	299
15:15	390	39	345	275
15:30	356	35,55	315	251
15:45	321	32,1	284	226
16:00	277	27,675	245	195
16:15	233	23,25	206	164
16:30	188	18,825	167	133
16:45	144	14,4	128	101
17:00	110	10,975	97	77
17:15	76	7,55	67	53
17:30	41	4,125	37	29
17:45	7	0,7	6	5
18:00	0	0	0	0
			12.170	9.685

APÉNDICE Nº 3

**CÁLCULOS JUSTIFICATIVOS DE POTENCIA BRUTA,
POTENCIA NETA Y AUTOCONSUMO CAMPO FOTOVOLTÁICO
DE 393,6 kWp**

Potencia FV (Wp)
393.600

RESUMEN

PRODUCCION ANUAL	Energía producida bruta (kWh)	Energía producida neta (kWh)	Energía autoconsumida (kW)	Energía autoconsumida real (kW)	Consumo de energía de red (kW)
ENERO	44.333	34.462	0	0	0
FEBRERO	47.852	38.081	0	0	0
MARZO	65.024	51.746	31.703	22.509	537
ABRIL	74.724	59.465	31.158	22.122	44
MAYO	87.443	65.075	32.240	22.890	0
JUNIO	91.846	68.351	33.150	23.537	0
JULIO	97.375	72.466	34.255	24.321	0
AGOSTO	90309	67.208	32.240	22.890	0
SEPTIEMBRE	73567	54.748	30.938	21.966	279
OCTUBRE	64376	51.230	31.040	22.038	1200
NOVIEMBRE	44299	35.253	0	0	0
DICIEMBRE	41.919	33.359	0	0	0
TOTAL	823.065	631.445	256.724	182.274	2.059

ENERO

HORA LOCAL	G (W/m ²)	Fp (%)	Potencia generada bruta Campo FV 393,6 kW	Potencia generada neta Campo FV 393,6 kW
8:15	0	0	0	0
8:30	96	9,6	38	30
8:45	128	12,8	50	40
9:00	170	16,95	67	53
9:15	211	21,1	83	66
9:30	253	25,25	99	79
9:45	294	29,4	116	92
10:00	330	33	130	103
10:15	366	36,6	144	115
10:30	402	40,2	158	126
10:45	438	43,8	172	137
11:00	463	46,275	182	145
11:15	488	48,75	192	153
11:30	512	51,225	202	160
11:45	537	53,7	211	168
12:00	551	55,125	217	173
12:15	566	56,55	223	177
12:30	580	57,975	228	182
12:45	594	59,4	234	186
13:00	588	58,75	231	184
13:15	581	58,1	229	182
13:30	575	57,45	226	180
13:45	568	56,8	224	178
14:00	553	55,25	217	173
14:15	537	53,7	211	168
14:30	522	52,15	205	163
14:45	506	50,6	199	158
15:00	473	47,325	186	148
15:15	441	44,05	173	138
15:30	408	40,775	160	128
15:45	375	37,5	148	117
16:00	335	33,45	132	105
16:15	294	29,4	116	92
16:30	254	25,35	100	79
16:45	213	21,3	84	67
17:00	162	16,15	64	51
17:15	110	11	43	34
17:30	59	5,85	23	18
17:45	7	0,7	3	2
18:00	0	0	0	0
			5.720	4.447

FEBRERO

HORA LOCAL	G (W/m ²)	Fp (%)	Potencia generada bruta Campo FV 393,6 kW	Potencia generada neta Campo FV 393,6 kW
8:15	0	0	0	0
8:30	115	11,5	45	36
8:45	181	18,1	71	57
9:00	224	22,425	88	70
9:15	268	26,75	105	84
9:30	311	31,075	122	97
9:45	354	35,4	139	111
10:00	390	38,975	153	122
10:15	426	42,55	167	133
10:30	461	46,125	182	144
10:45	497	49,7	196	156
11:00	529	52,875	208	166
11:15	561	56,05	221	176
11:30	592	59,225	233	186
11:45	624	62,4	246	195
12:00	635	63,5	250	199
12:15	646	64,6	254	202
12:30	657	65,7	259	206
12:45	668	66,8	263	209
13:00	666	66,625	262	209
13:15	665	66,45	262	208
13:30	663	66,275	261	208
13:45	661	66,1	260	207
14:00	643	64,3	253	201
14:15	625	62,5	246	196
14:30	607	60,7	239	190
14:45	589	58,9	232	184
15:00	555	55,45	218	174
15:15	520	52	205	163
15:30	486	48,55	191	152
15:45	451	45,1	178	141
16:00	412	41,15	162	129
16:15	372	37,2	146	117
16:30	333	33,25	131	104
16:45	293	29,3	115	92
17:00	245	24,5	96	77
17:15	197	19,7	78	62
17:30	149	14,9	59	47
17:45	101	10,1	40	32
18:00	0	0	0	0
			6.836	5.440

MARZO

POTENCIA BOMBEO (kW)

130

HORA LOCAL	G (W/m ²)	Fp (%)	Potencia generada bruta Campo FV 393,6 kW	Potencia generada neta Campo FV 393,6 kW	Potencia tomada red electrica (kW)	Energia autoconsumida (kW)
7:45	0	0	0	0		
8:00	24	2,375	9	7		
8:15	48	4,75	19	15		
8:30	71	7,125	28	22		
8:45	95	9,5	37	30		
9:00	142	14,175	56	44		
9:15	189	18,85	74	59		
9:30	235	23,525	93	74		
9:45	282	28,2	111	88		
10:00	328	32,75	129	103	-27,42	103
10:15	373	37,3	147	117	-13,17	117
10:30	419	41,85	165	131		130
10:45	464	46,4	183	145		130
11:00	501	50,1	197	157		130
11:15	538	53,8	212	169		130
11:30	575	57,5	226	180		130
11:45	612	61,2	241	192		130
12:00	644	64,425	254	202		130
12:15	677	67,65	266	212		130
12:30	709	70,875	279	222		130
12:45	741	74,1	292	232		130
13:00	743	74,25	292	233		130
13:15	744	74,4	293	233		130
13:30	746	74,55	293	234		130
13:45	747	74,7	294	234		130
14:00	751	75,075	295	235		130
14:15	755	75,45	297	236		130
14:30	758	75,825	298	238		130
14:45	762	76,2	300	239		130
15:00	736	73,575	290	230		130
15:15	710	70,95	279	222		130
15:30	683	68,325	269	214		130
15:45	657	65,7	259	206		130
16:00	622	62,225	245	195		130
16:15	588	58,75	231	184		130
16:30	553	55,275	218	173		130
16:45	518	51,8	204	162		130
17:00	476	47,55	187	149		130
17:15	433	43,3	170	136		130
17:30	391	39,05	154	122	-7,68	122
17:45	348	34,8	137	109	-21,00	109
18:00	302	30,225	119	95		
18:15	257	25,65	101	80		
18:30	211	21,075	83	66		
18:45	165	16,5	65	52		
			8.390	6.677		4091

ENERGIA NECESARIA DE LA RED ELECTRICA (kWh/dia)	17,32
---	-------

ENERGIA NECESARIA DE LA RED ELECTRICA (kWh/mes)	536,82
---	--------

ABRIL

POTENCIA BOMBEO (kW)

130

HORA LOCAL	G (W/m ²)	Fp (%)	Potencia generada bruta Campo FV 393,6 kW	Potencia generada neta Campo FV 393,6 kW	Potencia tomada red electrica (kW)	Energia autoconsumida (kW)
7:45	34	3,4	13	11		
8:00	75	7,525	30	24		
8:15	117	11,65	46	36		
8:30	158	15,775	62	49		
8:45	199	19,9	78	62		
9:00	247	24,675	97	77		
9:15	295	29,45	116	92		
9:30	342	34,225	135	107		
9:45	390	39	154	122		
10:00	437	43,675	172	137		130
10:15	484	48,35	190	151		130
10:30	530	53,025	209	166		130
10:45	577	57,7	227	181		130
11:00	615	61,525	242	193		130
11:15	654	65,35	257	205		130
11:30	692	69,175	272	217		130
11:45	730	73	287	229		130
12:00	753	75,3	296	236		130
12:15	776	77,6	305	243		130
12:30	799	79,9	314	250		130
12:45	822	82,2	324	257		130
13:00	825	82,525	325	258		130
13:15	829	82,85	326	260		130
13:30	832	83,175	327	261		130
13:45	835	83,5	329	262		130
14:00	832	83,15	327	260		130
14:15	828	82,8	326	259		130
14:30	825	82,45	325	258		130
14:45	821	82,1	323	257		130
15:00	795	79,45	313	249		130
15:15	768	76,8	302	241		130
15:30	742	74,15	292	232		130
15:45	715	71,5	281	224		130
16:00	680	68,025	268	213		130
16:15	646	64,55	254	202		130
16:30	611	61,075	240	191		130
16:45	576	57,6	227	180		130
17:00	531	53,125	209	166		130
17:15	487	48,65	191	152		130
17:30	442	44,175	174	138		130
17:45	397	39,7	156	124	-5,65	124
18:00	352	35,15	138	110		
18:15	306	30,6	120	96		
18:30	261	26,05	103	82		
18:45	215	21,5	85	67		
19:00	173	17,325	68	54		
19:15	132	13,15	52	41		
19:30	90	8,975	35	28		
19:45	48	4,8	19	15		
			9.963	7.929		4154

ENERGIA NECESARIA DE LA
RED ELECTRICA (kWh/dia)

1,41

ENERGIA NECESARIA DE LA
RED ELECTRICA (kWh/mes)

43,78

MAYO

POTENCIA BOMBEO (kW)

130

HORA LOCAL	G (W/m ²)	Fp (%)	Potencia generada bruta Campo FV 393,6 kW	Potencia generada neta Campo FV 393,6 kW	Potencia tomada red electrica (kW)	Energia autoconsumida (kW)
6:45	0	0	0	0		
7:00	25	2,45	10	7		
7:15	49	4,9	19	14		
7:30	74	7,35	29	22		
7:45	98	9,8	39	29		
8:00	142	14,2	56	42		
8:15	186	18,6	73	54		
8:30	230	23	91	67		
8:45	274	27,4	108	80		
9:00	326	32,575	128	95		
9:15	378	37,75	149	111		
9:30	429	42,925	169	126		
9:45	481	48,1	189	141		130,00
10:00	527	52,65	207	154		130,00
10:15	572	57,2	225	168		130,00
10:30	618	61,75	243	181		130,00
10:45	663	66,3	261	194		130,00
11:00	699	69,875	275	205		130,00
11:15	735	73,45	289	215		130,00
11:30	770	77,025	303	226		130,00
11:45	806	80,6	317	236		130,00
12:00	831	83,075	327	243		130,00
12:15	856	85,55	337	251		130,00
12:30	880	88,025	346	258		130,00
12:45	905	90,5	356	265		130,00
13:00	907	90,725	357	266		130,00
13:15	910	90,95	358	266		130,00
13:30	912	91,175	359	267		130,00
13:45	914	91,4	360	268		130,00
14:00	904	90,425	356	265		130,00
14:15	895	89,45	352	262		130,00
14:30	885	88,475	348	259		130,00
14:45	875	87,5	344	256		130,00
15:00	848	84,775	334	248		130,00
15:15	821	82,05	323	240		130,00
15:30	793	79,325	312	232		130,00
15:45	766	76,6	301	224		130,00
16:00	731	73,075	288	214		130,00
16:15	696	69,55	274	204		130,00
16:30	660	66,025	260	193		130,00
16:45	625	62,5	246	183		130,00
17:00	579	57,9	228	170		130,00
17:15	533	53,3	210	156		130,00
17:30	487	48,7	192	143		130,00
17:45	441	44,1	174	129		
18:00	396	39,6	156	116		
18:15	351	35,1	138	103		
18:30	306	30,6	120	90		
18:45	261	26,1	103	76		
19:00	219	21,875	86	64		
19:15	177	17,65	69	52		
19:30	134	13,425	53	39		
19:45	92	9,2	36	27		
			11.283	8.397		4.160

ENERGIA NECESARIA DE LA RED ELECTRICA (kWh/dia)	0
ENERGIA NECESARIA DE LA RED ELECTRICA (kWh/mes)	0

JUNIO

POTENCIA BOMBEO (kW)

130

HORA LOCAL	G (W/m ²)	Fp (%)	Potencia generada bruta Campo FV 393,6 kW	Potencia generada neta Campo FV 393,6 kW	Potencia tomada red electrica (kW)	Energia autoconsumida (kW)
6:45	10	1	4	3		
7:00	38	4	15	11		
7:15	65	7	26	19		
7:30	93	9	36	27		
7:45	120	12	47	35		
8:00	167	17	66	49		
8:15	214	21	84	63		
8:30	260	26	102	76		
8:45	307	31	121	90		
9:00	359	36	141	105		
9:15	411	41	162	120		
9:30	462	46	182	135		130,00
9:45	514	51	202	151		130,00
10:00	560	56	220	164		130,00
10:15	606	61	239	178		130,00
10:30	652	65	257	191		130,00
10:45	698	70	275	204		130,00
11:00	736	74	290	216		130,00
11:15	774	77	305	227		130,00
11:30	812	81	320	238		130,00
11:45	850	85	335	249		130,00
12:00	874	87	344	256		130,00
12:15	898	90	353	263		130,00
12:30	922	92	363	270		130,00
12:45	946	95	372	277		130,00
13:00	957	96	376	280		130,00
13:15	967	97	381	283		130,00
13:30	978	98	385	286		130,00
13:45	988	99	389	289		130,00
14:00	976	98	384	286		130,00
14:15	964	96	379	282		130,00
14:30	952	95	375	279		130,00
14:45	940	94	370	275		130,00
15:00	914	91	360	268		130,00
15:15	888	89	349	260		130,00
15:30	861	86	339	252		130,00
15:45	835	84	329	245		130,00
16:00	797	80	314	233		130,00
16:15	759	76	299	222		130,00
16:30	721	72	284	211		130,00
16:45	683	68	269	200		130,00
17:00	638	64	251	187		130,00
17:15	594	59	234	174		130,00
17:30	549	55	216	161		130,00
17:45	504	50	198	148		130,00
18:00	455	45	179	133		
18:15	406	41	160	119		
18:30	356	36	140	104		
18:45	307	31	121	90		
19:00	262	26	103	77		
19:15	218	22	86	64		
19:30	173	17	68	51		
19:45	128	13	50	37		
			12.246	9.114		4.420

ENERGIA NECESARIA DE LA RED ELECTRICA (kWh/dia)	0
ENERGIA NECESARIA DE LA RED ELECTRICA (kWh/mes)	0

JULIO

POTENCIA BOMBEO (kW)

130

HORA LOCAL	G (W/m ²)	Fp (%)	Potencia generada bruta Campo FV 393,6 kW	Potencia generada neta Campo FV 393,6 kW	Potencia tomada red electrica (kW)	Energia autoconsumida (kW)
6:45	0	0	0	0		
7:00	24	2,425	10	7		
7:15	49	4,85	19	14		
7:30	73	7,275	29	21		
7:45	97	9,7	38	28		
8:00	145	14,525	57	43		
8:15	194	19,35	76	57		
8:30	242	24,175	95	71		
8:45	290	29	114	85		
9:00	343	34,3	135	100		
9:15	396	39,6	156	116		
9:30	449	44,9	177	132		
9:45	502	50,2	198	147		130,00
10:00	550	55	216	161		130,00
10:15	598	59,8	235	175		130,00
10:30	646	64,6	254	189		130,00
10:45	694	69,4	273	203		130,00
11:00	734	73,425	289	215		130,00
11:15	775	77,45	305	227		130,00
11:30	815	81,475	321	239		130,00
11:45	855	85,5	337	250		130,00
12:00	884	88,375	348	259		130,00
12:15	913	91,25	359	267		130,00
12:30	941	94,125	370	276		130,00
12:45	970	97	382	284		130,00
13:00	981	98,075	386	287		130,00
13:15	992	99,15	390	290		130,00
13:30	1002	100,225	394	294		130,00
13:45	1013	101,3	399	297		130,00
14:00	1006	100,6	396	295		130,00
14:15	999	99,9	393	293		130,00
14:30	992	99,2	390	291		130,00
14:45	985	98,5	388	289		130,00
15:00	959	95,9	377	281		130,00
15:15	933	93,3	367	273		130,00
15:30	907	90,7	357	266		130,00
15:45	881	88,1	347	258		130,00
16:00	842	84,225	332	247		130,00
16:15	804	80,35	316	235		130,00
16:30	765	76,475	301	224		130,00
16:45	726	72,6	286	213		130,00
17:00	680	67,975	268	199		130,00
17:15	634	63,35	249	186		130,00
17:30	587	58,725	231	172		130,00
17:45	541	54,1	213	158		130,00
18:00	491	49,05	193	144		130,00
18:15	440	44	173	129		
18:30	390	38,95	153	114		
18:45	339	33,9	133	99		
19:00	289	28,925	114	85		
19:15	240	23,95	94	70		
19:30	190	18,975	75	56		
19:45	140	14	55	41		
			12.564	9.351		4.420

ENERGIA NECESARIA DE LA RED ELECTRICA (kWh/dia)	0
ENERGIA NECESARIA DE LA RED ELECTRICA (kWh/mes)	0

AGOSTO

POTENCIA BOMBEO (kW)

130

HORA LOCAL	G (W/m ²)	Fp (%)	Potencia generada bruta Campo FV 393,6 kW	Potencia generada neta Campo FV 393,6 kW	Potencia tomada red electrica (kW)	Energia autoconsumida (kW)
6:45	0	0	0	0		
7:00	13	1,325	5	4		
7:15	27	2,65	10	8		
7:30	40	3,975	16	12		
7:45	53	5,3	21	16		
8:00	100	9,975	39	29		
8:15	147	14,65	58	43		
8:30	193	19,325	76	57		
8:45	240	24	94	70		
9:00	294	29,4	116	86		
9:15	348	34,8	137	102		
9:30	402	40,2	158	118		
9:45	456	45,6	179	134		
10:00	507	50,725	200	149		130,00
10:15	559	55,85	220	164		130,00
10:30	610	60,975	240	179		130,00
10:45	661	66,1	260	194		130,00
11:00	703	70,3	277	206		130,00
11:15	745	74,5	293	218		130,00
11:30	787	78,7	310	231		130,00
11:45	829	82,9	326	243		130,00
12:00	857	85,675	337	251		130,00
12:15	885	88,45	348	259		130,00
12:30	912	91,225	359	267		130,00
12:45	940	94	370	275		130,00
13:00	950	94,95	374	278		130,00
13:15	959	95,9	377	281		130,00
13:30	969	96,85	381	284		130,00
13:45	978	97,8	385	286		130,00
14:00	967	96,65	380	283		130,00
14:15	955	95,5	376	280		130,00
14:30	944	94,35	371	276		130,00
14:45	932	93,2	367	273		130,00
15:00	906	90,625	357	265		130,00
15:15	881	88,05	347	258		130,00
15:30	855	85,475	336	250		130,00
15:45	829	82,9	326	243		130,00
16:00	789	78,9	311	231		130,00
16:15	749	74,9	295	219		130,00
16:30	709	70,9	279	208		130,00
16:45	669	66,9	263	196		130,00
17:00	623	62,25	245	182		130,00
17:15	576	57,6	227	169		130,00
17:30	530	52,95	208	155		130,00
17:45	483	48,3	190	141		130,00
18:00	432	43,15	170	126		
18:15	380	38	150	111		
18:30	329	32,85	129	96		
18:45	277	27,7	109	81		
19:00	230	22,95	90	67		
19:15	182	18,2	72	53		
19:30	135	13,45	53	39		
19:45	87	8,7	34	25		
			11653	8672		4160

ENERGIA NECESARIA DE LA RED ELECTRICA (kWh/dia)	0
ENERGIA NECESARIA DE LA RED ELECTRICA (kWh/mes)	0

SEPTIEMBRE

POTENCIA BOMBEO (kW)

130

HORA LOCAL	G (W/m ²)	Fp (%)	Potencia generada bruta Campo FV 393,6 kW	Potencia generada neta Campo FV 393,6 kW	Potencia tomada red electrica (kW)	Energia autoconsumida (kW)
6:45	0	0	0	0		
7:00	3	0,25	1	1		
7:15	5	0,5	2	1		
7:30	8	0,75	3	2		
7:45	10	1	4	3		
8:00	53	5,275	21	15		
8:15	96	9,55	38	28		
8:30	138	13,825	54	40		
8:45	181	18,1	71	53		
9:00	233	23,325	92	68		
9:15	286	28,55	112	84		
9:30	338	33,775	133	99		
9:45	390	39	154	114		
10:00	440	44,025	173	129	-1	130,00
10:15	491	49,05	193	144		130,00
10:30	541	54,075	213	158		130,00
10:45	591	59,1	233	173		130,00
11:00	630	63	248	185		130,00
11:15	669	66,9	263	196		130,00
11:30	708	70,8	279	207		130,00
11:45	747	74,7	294	219		130,00
12:00	772	77,2	304	226		130,00
12:15	797	79,7	314	233		130,00
12:30	822	82,2	324	241		130,00
12:45	847	84,7	333	248		130,00
13:00	850	85,025	335	249		130,00
13:15	854	85,35	336	250		130,00
13:30	857	85,675	337	251		130,00
13:45	860	86	338	252		130,00
14:00	851	85,1	335	249		130,00
14:15	842	84,2	331	247		130,00
14:30	833	83,3	328	244		130,00
14:45	824	82,4	324	241		130,00
15:00	792	79,175	312	232		130,00
15:15	760	75,95	299	222		130,00
15:30	727	72,725	286	213		130,00
15:45	695	69,5	274	204		130,00
16:00	660	65,975	260	193		130,00
16:15	625	62,45	246	183		130,00
16:30	589	58,925	232	173		130,00
16:45	554	55,4	218	162		130,00
17:00	506	50,55	199	148		130,00
17:15	457	45,7	180	134		130,00
17:30	409	40,85	161	120	-10	120
17:45	360	36	142	105	-25	105
18:00	311	31,125	123	91		
18:15	263	26,25	103	77		
18:30	214	21,375	84	63		
18:45	165	16,5	65	48		
19:00	126	12,625	50	37		
19:15	88	8,75	34	26		
19:30	49	4,875	19	14		
19:45	10	1	4	3		
			9809	7300		4125

ENERGIA NECESARIA DE LA RED ELECTRICA (kWh/dia)	8,98
ENERGIA NECESARIA DE LA RED ELECTRICA (kWh/mes)	278,51

OCTUBRE

POTENCIA BOMBEO (kW) 130

HORA LOCAL	G (W/m ²)	Fp (%)	Potencia generada bruta Campo FV 393,6 kW	Potencia generada neta Campo FV 393,6 kW	Potencia tomada red electrica (kW)	Energia autoconsumida (kW)
6:45	0	0	0	0		
7:00	3	0,25	1	1		
7:15	5	0,5	2	2		
7:30	8	0,75	3	2		
7:45	10	1	4	3		
8:00	38	3,75	15	12		
8:15	65	6,5	26	20		
8:30	93	9,25	36	29		
8:45	120	12	47	38		
9:00	169	16,875	66	53		
9:15	218	21,75	86	68		
9:30	266	26,625	105	83		
9:45	315	31,5	124	99		
10:00	359	35,875	141	112	-18	112
10:15	403	40,25	158	126	-4	126
10:30	446	44,625	176	140		130,00
10:45	490	49	193	153		130,00
11:00	530	53	209	166		130,00
11:15	570	57	224	179		130,00
11:30	610	61	240	191		130,00
11:45	650	65	256	204		130,00
12:00	673	67,275	265	211		130,00
12:15	696	69,55	274	218		130,00
12:30	718	71,825	283	225		130,00
12:45	741	74,1	292	232		130,00
13:00	743	74,3	292	233		130,00
13:15	745	74,5	293	233		130,00
13:30	747	74,7	294	234		130,00
13:45	749	74,9	295	235		130,00
14:00	739	73,925	291	232		130,00
14:15	730	72,95	287	228		130,00
14:30	720	71,975	283	225		130,00
14:45	710	71	279	222		130,00
15:00	680	67,95	267	213		130,00
15:15	649	64,9	255	203		130,00
15:30	619	61,85	243	194		130,00
15:45	588	58,8	231	184		130,00
16:00	547	54,675	215	171		130,00
16:15	506	50,55	199	158		130,00
16:30	464	46,425	183	145		130,00
16:45	423	42,3	166	132		130,00
17:00	377	37,725	148	118	-12	118
17:15	332	33,15	130	104	-26	104
17:30	286	28,575	112	90	-40	90
17:45	240	24	94	75	-55	75
18:00	221	22,125	87	69		
18:15	203	20,25	80	63		
18:30	184	18,375	72	58		
18:45	165	44	173	138		
19:00	126	12,625	50	40		
19:15	88	8,75	34	27		
19:30	49	4,875	19	15		
19:45	10	1	4	3		
			8307	6610		4.005

ENERGIA NECESARIA DE LA RED ELECTRICA (kWh/dia)	39
ENERGIA NECESARIA DE LA RED ELECTRICA (kWh/mes)	1200

NOVIEMBRE

HORA LOCAL	G (W/m ²)	Fp (%)	Potencia generada bruta Campo FV 393,6 kW	Potencia generada neta Campo FV 393,6 kW
8:15	0	0	0	0
8:30	96	9,6	38	30
8:45	202	20,2	80	63
9:00	241	24,1	95	75
9:15	280	28	110	88
9:30	319	31,9	126	100
9:45	358	35,8	141	112
10:00	395	39,5	155	124
10:15	432	43,2	170	135
10:30	469	46,9	185	147
10:45	506	50,6	199	158
11:00	530	53	209	166
11:15	554	55,4	218	174
11:30	578	57,8	228	181
11:45	602	60,2	237	189
12:00	608	60,825	239	191
12:15	615	61,45	242	192
12:30	621	62,075	244	194
12:45	627	62,7	247	196
13:00	612	61,2	241	192
13:15	597	59,7	235	187
13:30	582	58,2	229	182
13:45	567	56,7	223	178
14:00	540	53,975	212	169
14:15	513	51,25	202	161
14:30	485	48,525	191	152
14:45	458	45,8	180	143
15:00	426	42,55	167	133
15:15	393	39,3	155	123
15:30	361	36,05	142	113
15:45	328	32,8	129	103
16:00	284	28,375	112	89
16:15	240	23,95	94	75
16:30	195	19,525	77	61
16:45	151	15,1	59	47
17:00	115	11,5	45	36
17:15	79	7,9	31	25
17:30	43	4,3	17	13
17:45	7	0,7	3	2
18:00	0	0	0	0
			5906,558	4700,439

DICIEMBRE

HORA LOCAL	G (W/m ²)	Fp (%)	Potencia generada bruta Campo FV 393,6 kW	Potencia generada neta Campo FV 393,6 kW
8:15	0	0	0	0
8:30	96	9,6	38	30
8:45	141	14,1	55	44
9:00	181	18,1	71	57
9:15	221	22,1	87	69
9:30	261	26,1	103	82
9:45	301	30,1	118	94
10:00	333	33,325	131	104
10:15	366	36,55	144	114
10:30	398	39,775	157	125
10:45	430	43	169	135
11:00	456	45,575	179	143
11:15	482	48,15	190	151
11:30	507	50,725	200	159
11:45	533	53,3	210	167
12:00	545	54,45	214	171
12:15	556	55,6	219	174
12:30	568	56,75	223	178
12:45	579	57,9	228	181
13:00	572	57,225	225	179
13:15	566	56,55	223	177
13:30	559	55,875	220	175
13:45	552	55,2	217	173
14:00	529	52,875	208	166
14:15	506	50,55	199	158
14:30	482	48,225	190	151
14:45	459	45,9	181	144
15:00	425	42,45	167	133
15:15	390	39	154	122
15:30	356	35,55	140	111
15:45	321	32,1	126	101
16:00	277	27,675	109	87
16:15	233	23,25	92	73
16:30	188	18,825	74	59
16:45	144	14,4	57	45
17:00	110	10,975	43	34
17:15	76	7,55	30	24
17:30	41	4,125	16	13
17:45	7	0,7	3	2
18:00	0	0	0	0
			5.409	4.304